



Dai Kobayashi Tokyo Institute of Technology Feb.18 2013 19th ICEPP Symposium

ting new and powerful synergies. TOKYO TECH, being a research-based university dicated to education and research, and to exploring knowledge in science and

ATLAS実験のミューオントリガーに対するLow pTおよびHigh pTの領域での効率評価

- Title
- Introduction
- Motivation
- Tag&Probe method
- High pT efficiency
- Low pT efficiency
- Summary

Contents

- ●今回の発表では、LHCで行われているATLAS実験で使用されているミューオントリガーシステムの効率測定の方法、及び結果について話します。
- ●以下のような流れで進めていきます。
 - 1. LHC、ATLAS実験について
 - 2. ミューオントリガーシステム
 - 3. トリガー効率の測定方法Tag&Probe
 - 4. High pTのミューオンに対する効率測定
 - 5. Low pTのミューオンに対する効率測定
 - 6. まとめ

- Introduction
- Tag&Probe method
- High pT efficiency
- Low pT efficiency
- Summary

LHC and ATLAS

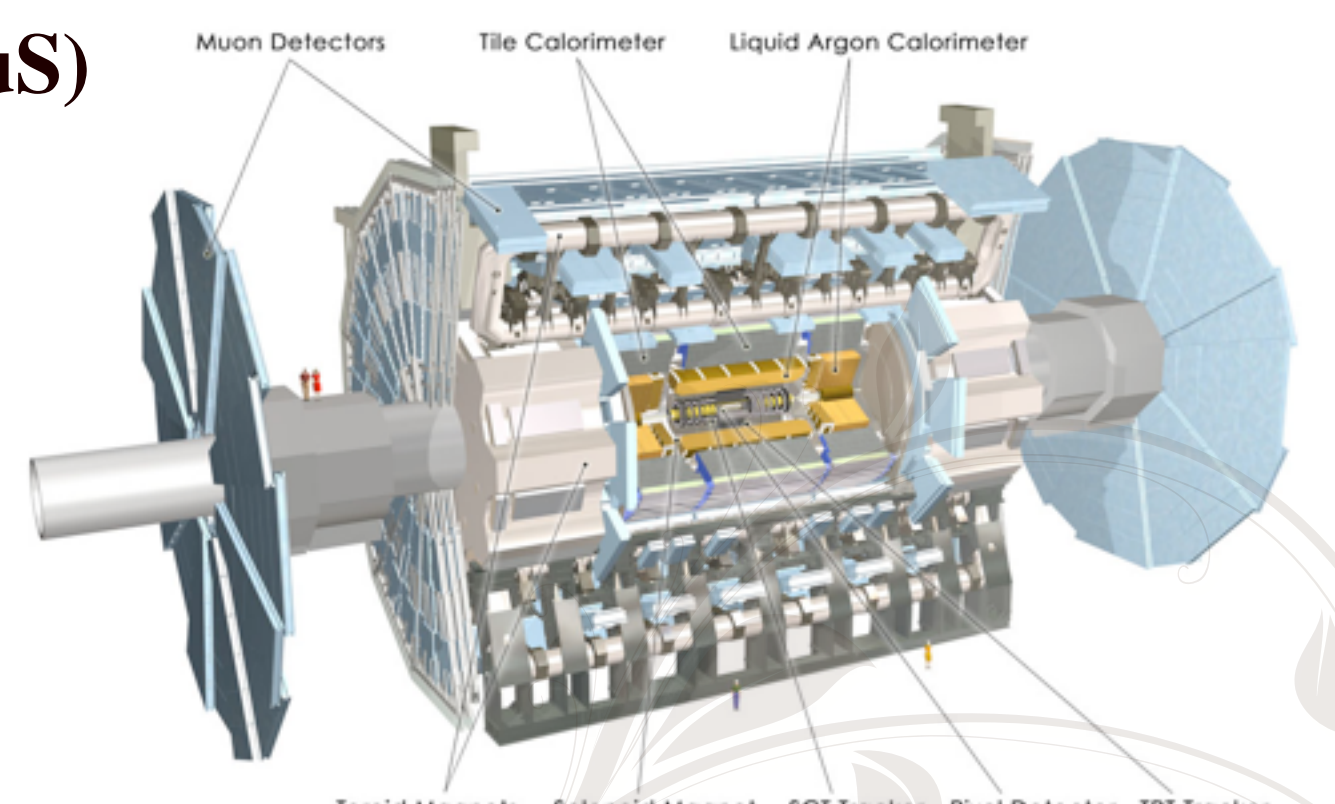
- LHC(Large Hadron Collider)
 - 陽子陽子衝突型加速器
 - リング周長:26.7km
 - 重心系エネルギー: 8TeV(2012)

- Introduction
- Tag&Probe method
- High pT efficiency
- Low pT efficiency
- Summary



• ATLAS(A Toroidal LHC ApparatuS)

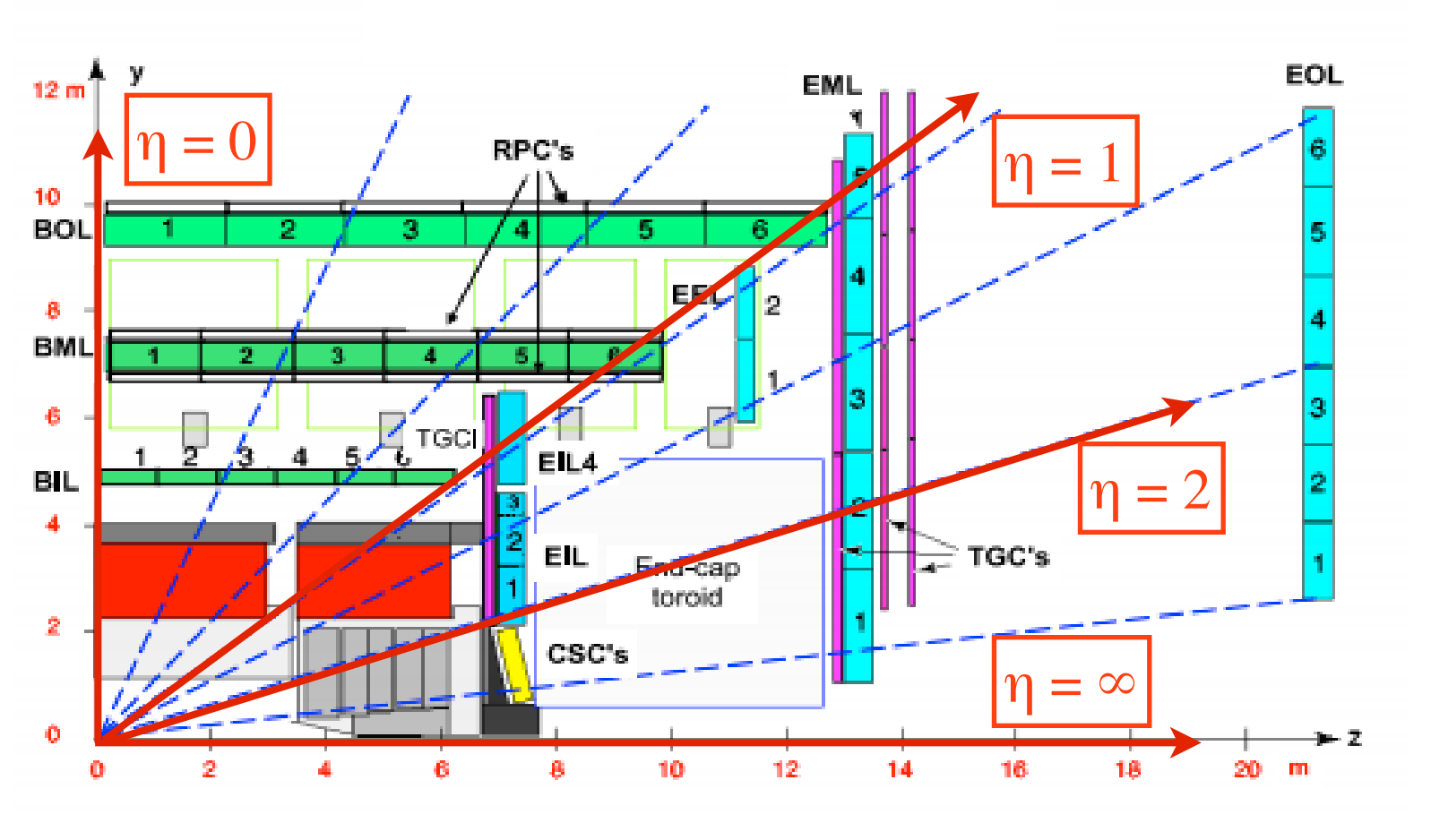
- Higgs粒子、SUSY粒子等の新物理の 探索を主な目的とする汎用検出器。
- 大まかな構成としては、内側から
 - 内部飛跡検出器
 - ・カロリメータ
 - ・ミューオン検出器というようになっている。



Muon Detector

- Introduction
- Tag&Probe method
- High pT efficiency
- Low pT efficiency
- Summary

● ミューオンの検出器としては以下のようなものを使用し、トリガーにおいてもこれらの検出器の情報を用いている。



・MDT(水色・緑)

位置 : Barrel · Endcap部

位置分解能:約35μm 用途 :精密測定

• CSC(黄色)

位置 :Endcapの一部

位置分解能:約40µm 用途 :精密測定

• <u>RPC</u> (白)

位置 : Barrel部

位置分解能:約10mm 用途 : トリガー用

• TGC (紫)

位置 :Endcap部

位置分解能:約2-6mm

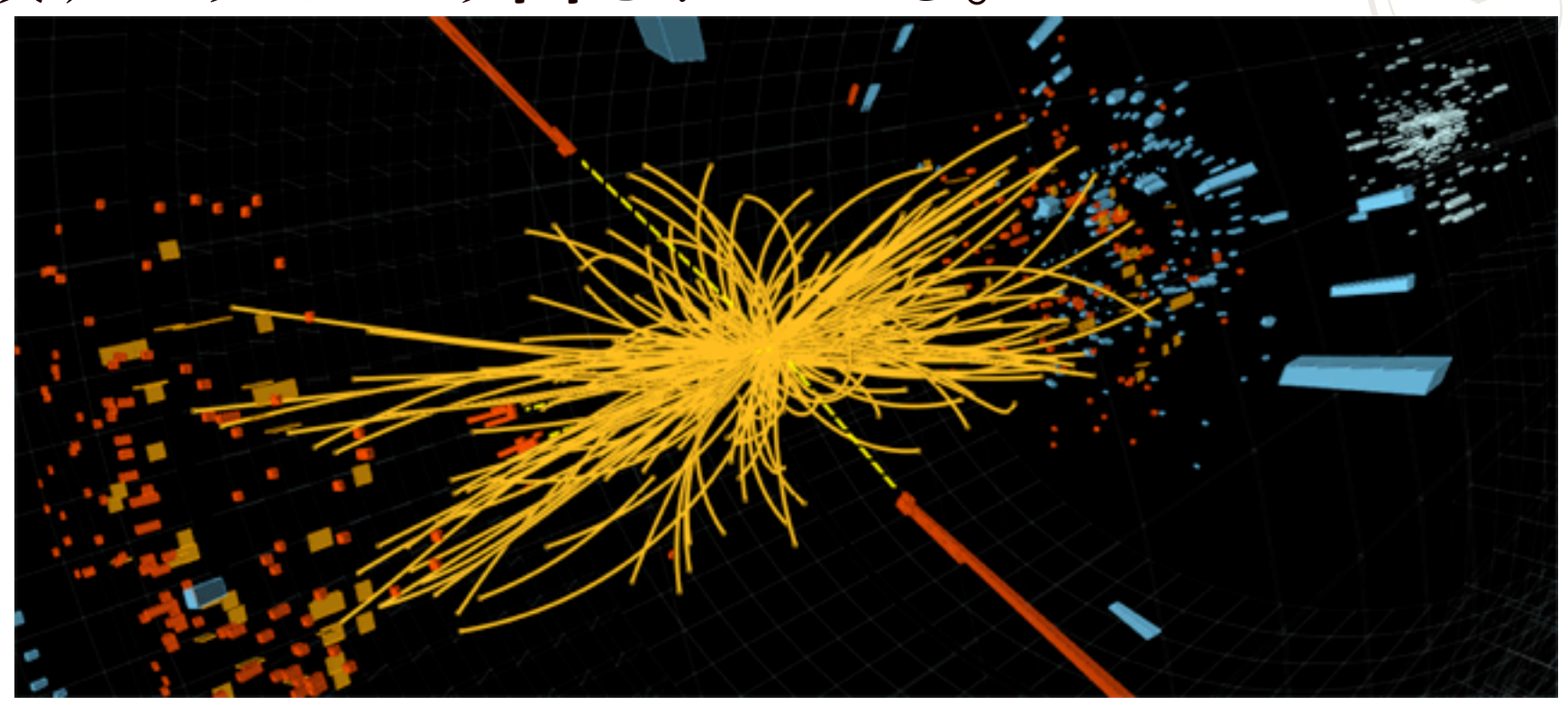
用途・トリガー用

位置分解能は劣るが、応答速度が早いTGC, RPCはあらかじめ粗い選別をするために用いる。

その情報を受け取ったMDT, CSCによって、 より精密な事象選別が行われる。

Trigger System

● ATLAS実験では、高頻度の衝突により、 膨大な実験データが生み出されている。



- その全データを記録するのは不可能であり、興味のないイベントに関しては選別して除外し、かつ興味のあるイベントを効率よく記録する必要がある。
- この働きを担うのがトリガーシステムであり、 今後の運転により、ルミノシティを上昇させることを考えると、ますます重要な役割を果たしていくことになる。

- Introduction
- Tag&Probe method
- High pT efficiency
- Low pT efficiency
- Summary

Trigger System

● ミューオントリガーシステムは、大きく 3つの段階に分けられる。

- Introduction
- Tag&Probe method
- High pT efficiency
- Low pT efficiency
- Summary

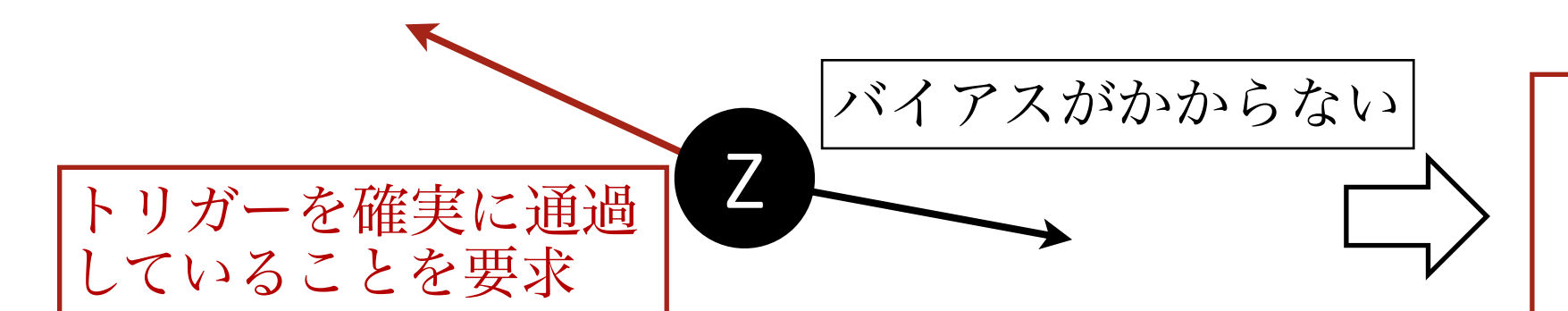
L1(Level 1)	L2(Level 2)		EF(Event filter)	
L1 (RPC,TGC)	muFast (MDT)	muComb (MDT+ID)	EF	
Hardware level選別 データ取得の領域 (RoI)を指定する	Software level選別 RoIで指定された領域のMDTの情報 からpTなどで選別 する。	Software level選別 内部検出器も利用 して詳細に選別。	Software level選別 処理速度の制限が 厳しくない。 ほぼofflineと同等に 詳細な選別。	

- この研究では、トリガーの各段階について効率測定を行う。
- ●特に、4[GeV]程度のLow pTのミューオンに対しても測定が 行うということに重点を置いている。

*Tag&Probe

- Tag&Probe method
- High pT efficiency
- Low pT efficiency
- Summary

- ●効率測定をするにあたり、Tag&Probeという手法を用いる。
 - そもそも、トリガーによって取得された情報を用いてトリガーの効率を 測るため、バイアスがかからないように評価を行うには工夫が必要である。
- ●"イベントがトリガーされる"と言った場合、イベント中の全ミューオンがトリガーにかかっている訳ではない
 - ・つまり、ZやJ/ψなどの粒子由来のミューオン対の片方があるEFまで通過している場合、 もう一方のミューオンに関しては、トリガーを通過している保証はなく、どこかの段階で トリガーを通過できていない可能性がある。



Z, J/ψ由来の ミューオン対を利用し、 効率測定を行う。

→測定に利用できる

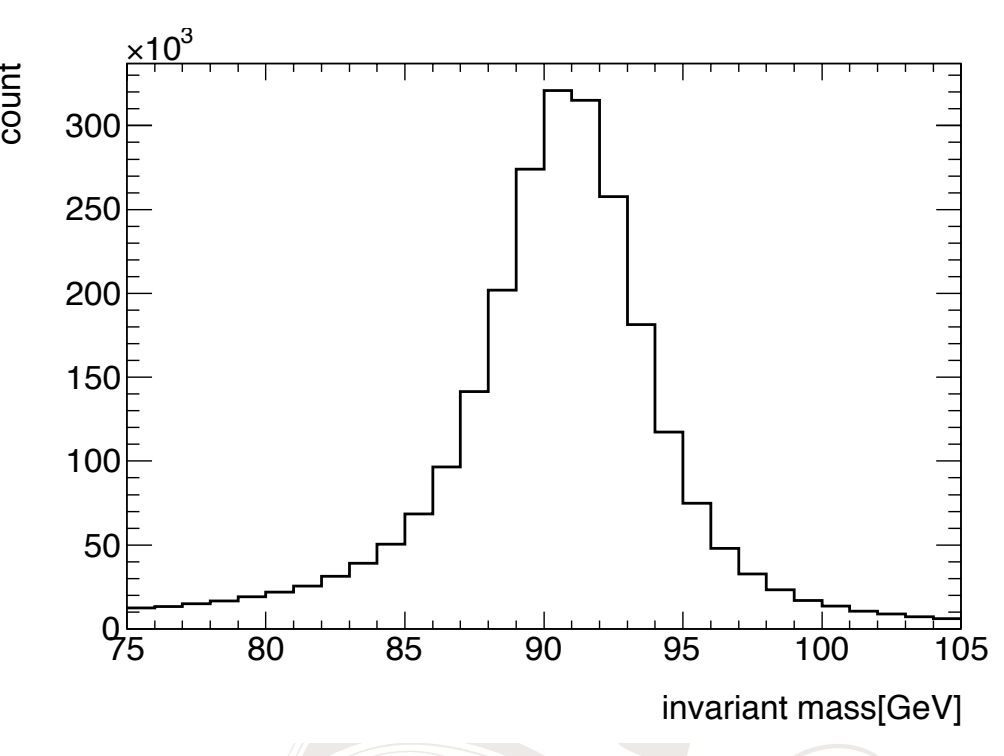
Z Tag&Probe(High pT)

- High pT efficiency
- Low pT efficiency
- Summary

- High pTのミューオンに対する効率測定には、 Z由来のミューオンを用いてtag&probeを行う。
 - ・先に述べたように、Z由来のミューオン対の片方がEFまで通過している(Tag)ことを要求すれば、もう一方(Probe)がトリガーフリーになり、効率測定ができる。

●具体的な方法

- ・まず、ミューオンにはある程度のカット(次頁)を設け、それを通過したミューオンについてのみ次のように進める。
- イベント中の逆符号のミューオン対の不変質量がZの領域であることを要求 75 < Mass_{μμ} < 105[GeV]
- ・次に、それぞれがEF_24GeVを 通過しているかどうかを確認し、 通過できていた場合は、もう一方の ミューオンに対して効率を調べたい トリガーの各段階の通過について調べる。



Offline cut & datasets

- High pT efficiency
- Low pT efficiency
- Summary

● Dataset、runnumber情報

- 2012年の前期運転のもの
- Inclusive samples(pre-selectionなし)

● Offline cutとtag、probeに対する要求

- $|\eta| < 2.4$
- |Z0| < 10[mm]
- ミューオンの近くに他の粒子がないことを要求
- Inner detectorのクオリティカット

$$\eta = -\ln(\tan(\frac{\theta}{2}))$$

$$dR = \sqrt{d\eta^2 + d\phi^2}$$

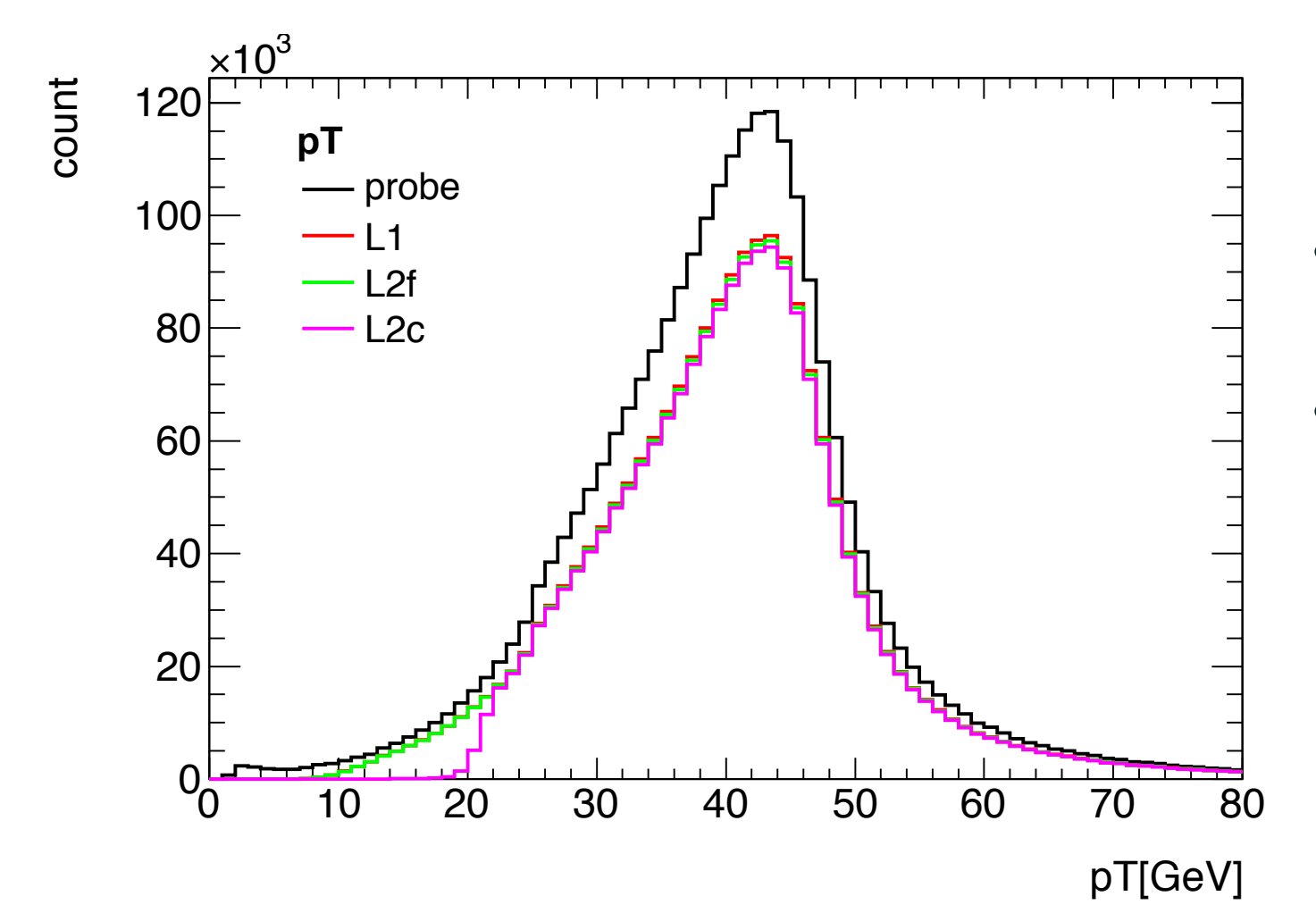
- Tagミューオン : EF(24GeV)の通過を要求(dR(offline vs EF) < 0.5) pT > 25[GeV]
- Probeミューオン: 測定したいトリガーのL1の通過を要求(dR(offline vs RoI) < 0.5)
 muFast、muCombについては、トリガーの通過の可否が記録されている ためそれを用いる。

Muon pT

- High pT efficiency
- Low pT efficiency
- Summary

● Tagが成功した場合のprobe側のpT分布

- •本研究では、High pTのトリガーの中でも、24GeVトリガーの効率を測定し、そこに導入した変更(後述)についても調べている。
- それぞれ要求なし、L1、L2(muFast)、L2(muComb)を通過したものの 分布となっており、数が減っているのがわかる。
- L2(muComb)では22[GeV]で閾値を設けているため、切れている。



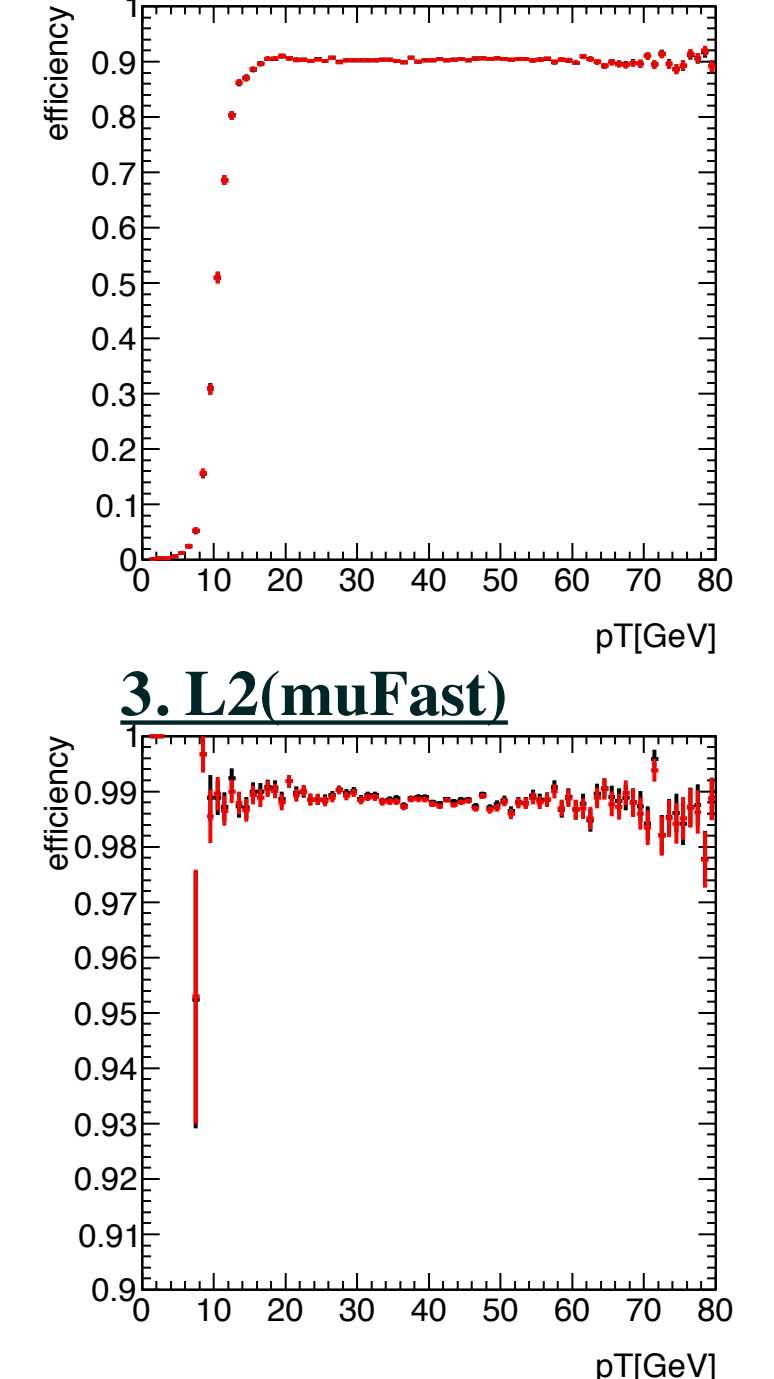
- 各段階毎にどのくらいの割合で トリガーできているのかを求めていく。
- ・以降、効率測定の結果となるが、大きな 特徴のあった部分についてのみ述べる。

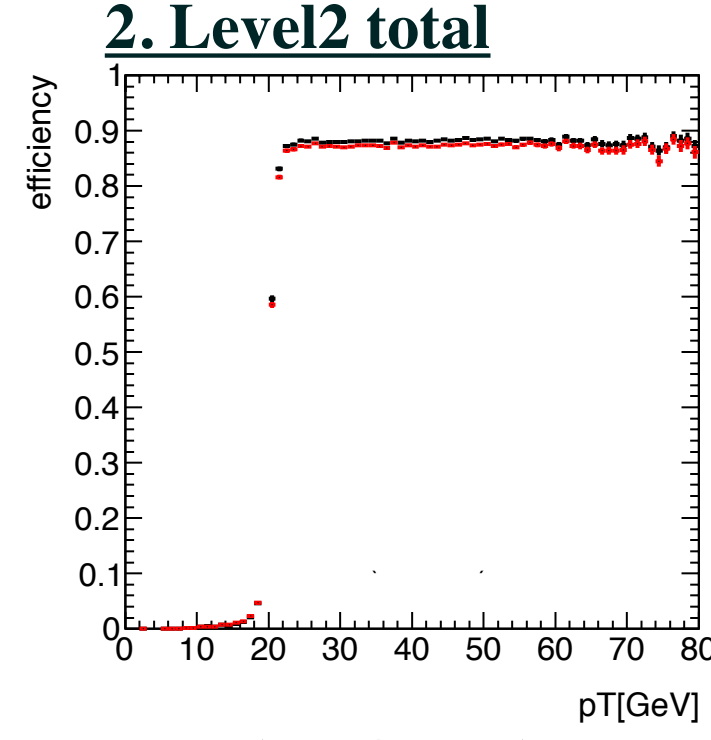
1. Level 1

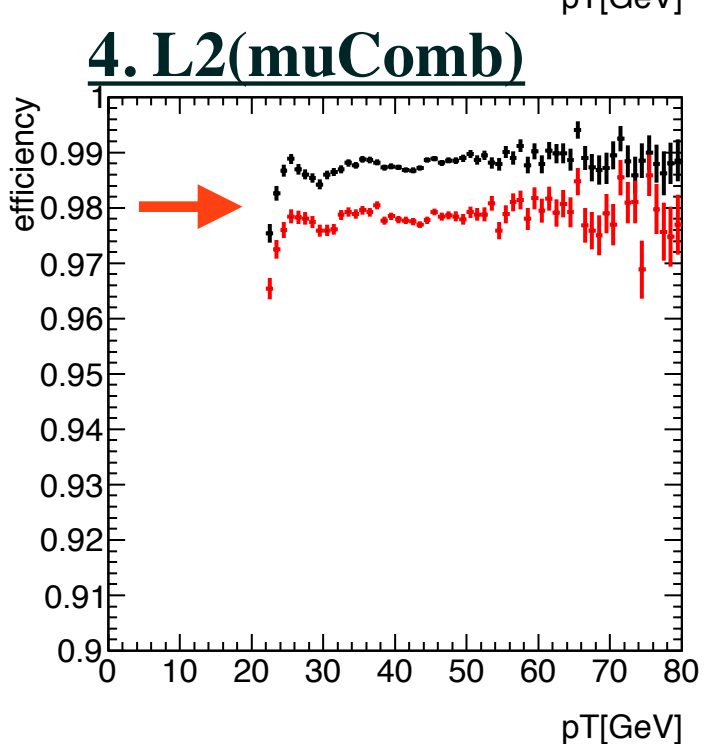
Efficiency plot

- High pT efficiency
- Low pT efficiency
- Summary

● 効率のpT依存性 (Endcap部分)





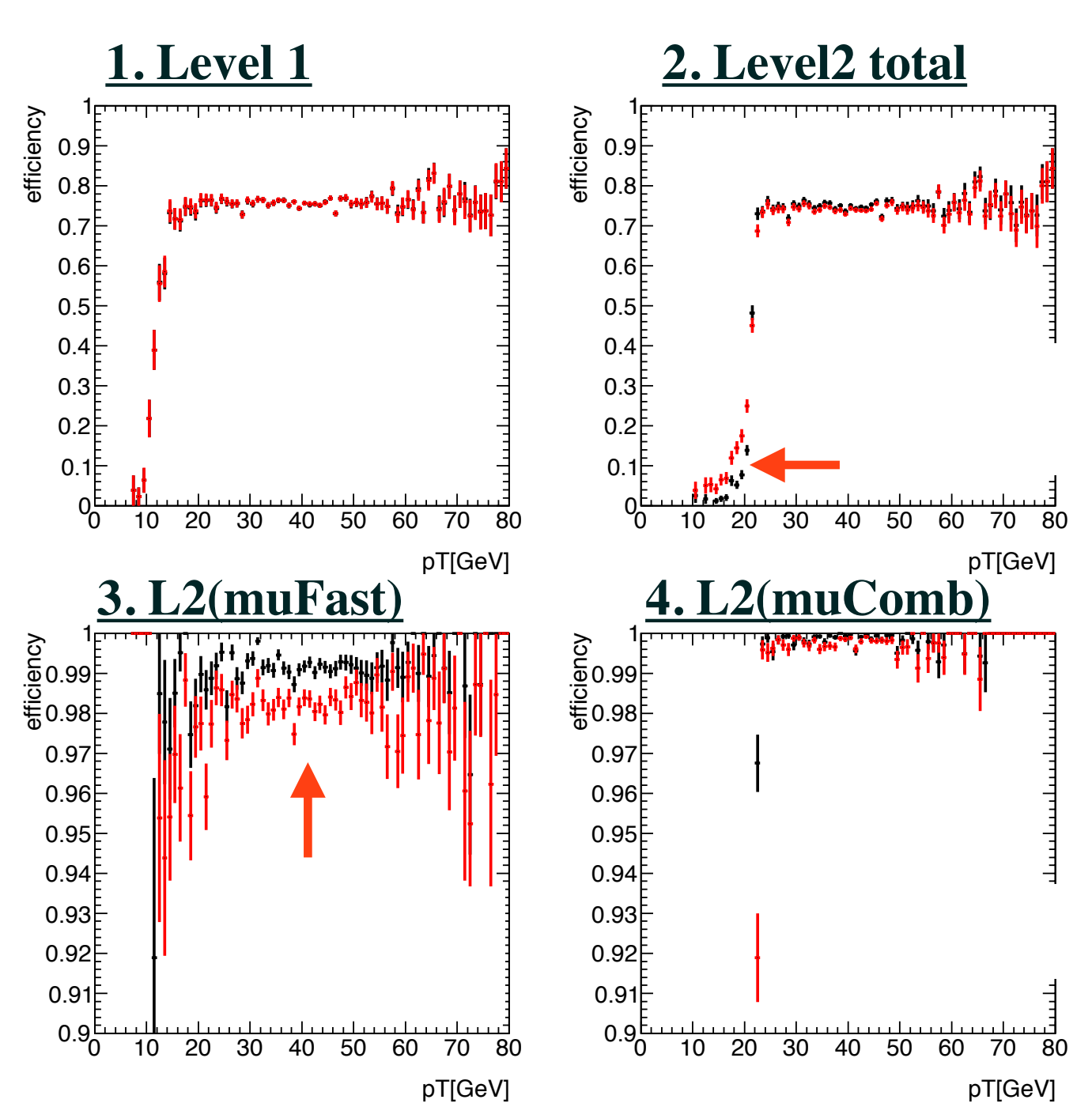


- 黒 : L2_mu24_tight (muFast:新しいアルゴリズム)
- 赤: L2_mu24_tight_muFast (muFast:旧式のアルゴリズム)
- •90%程度の効率で安定して動いている。
- muCombは~1%の改良が見られる。 これは、muFastの段階での位置再構成を 改良したため、IDとのマッチングを 取る際の効率が上昇したものと 思われる。

- High pT efficiency
- Low pT efficiency
- Summary

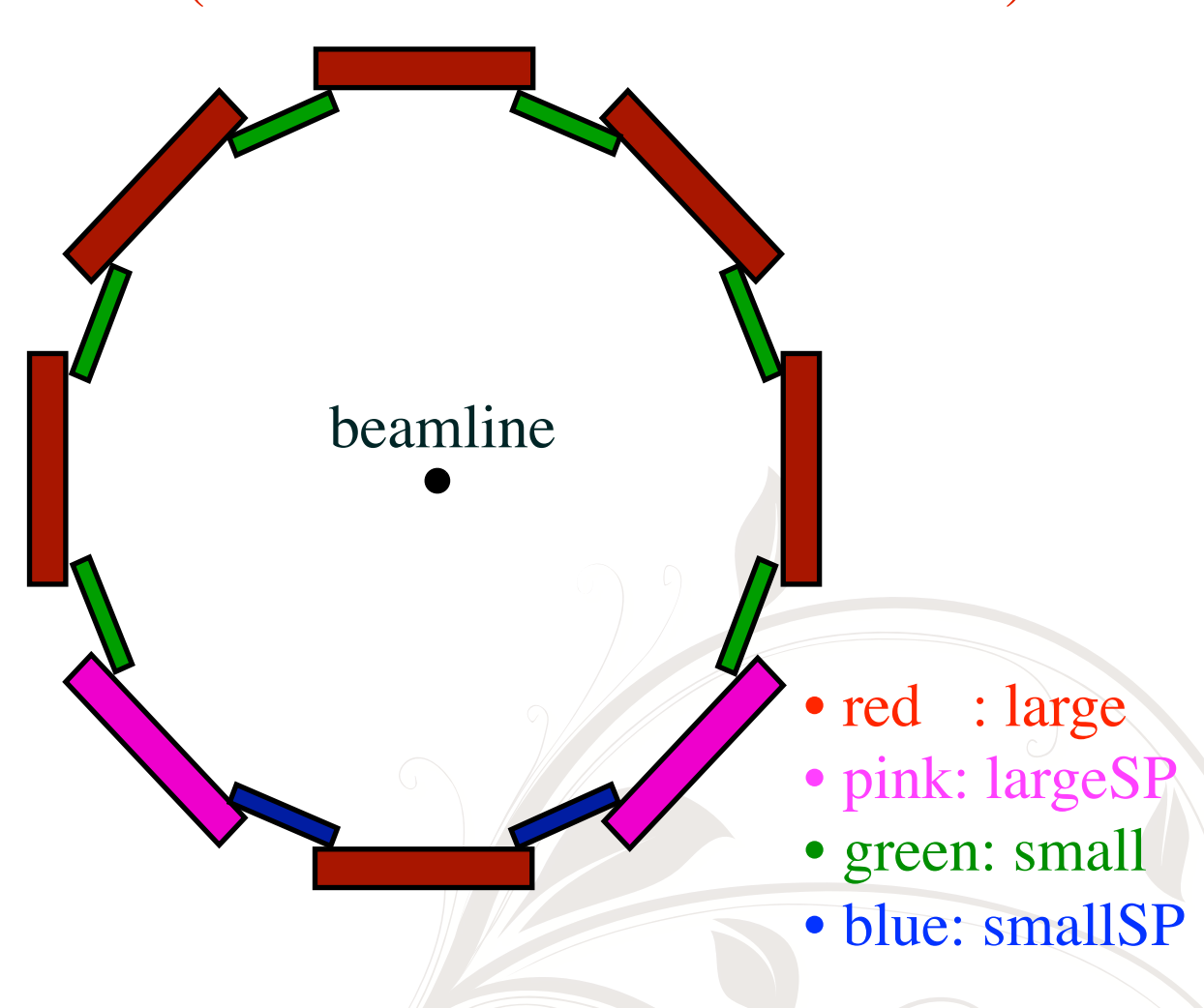
● 効率のpT依存性(Barrel LargeSP)

• 検出器の足がある部分にあたり、難しい領域になるが、 位置のキャリブレーションなどを導入することでmuFastの効率が改善。



• 黒 : L2_mu24_tight (muFast:新しいアルゴリズム)

• 赤: L2_mu24_tight_muFast (muFast:旧式のアルゴリズム)

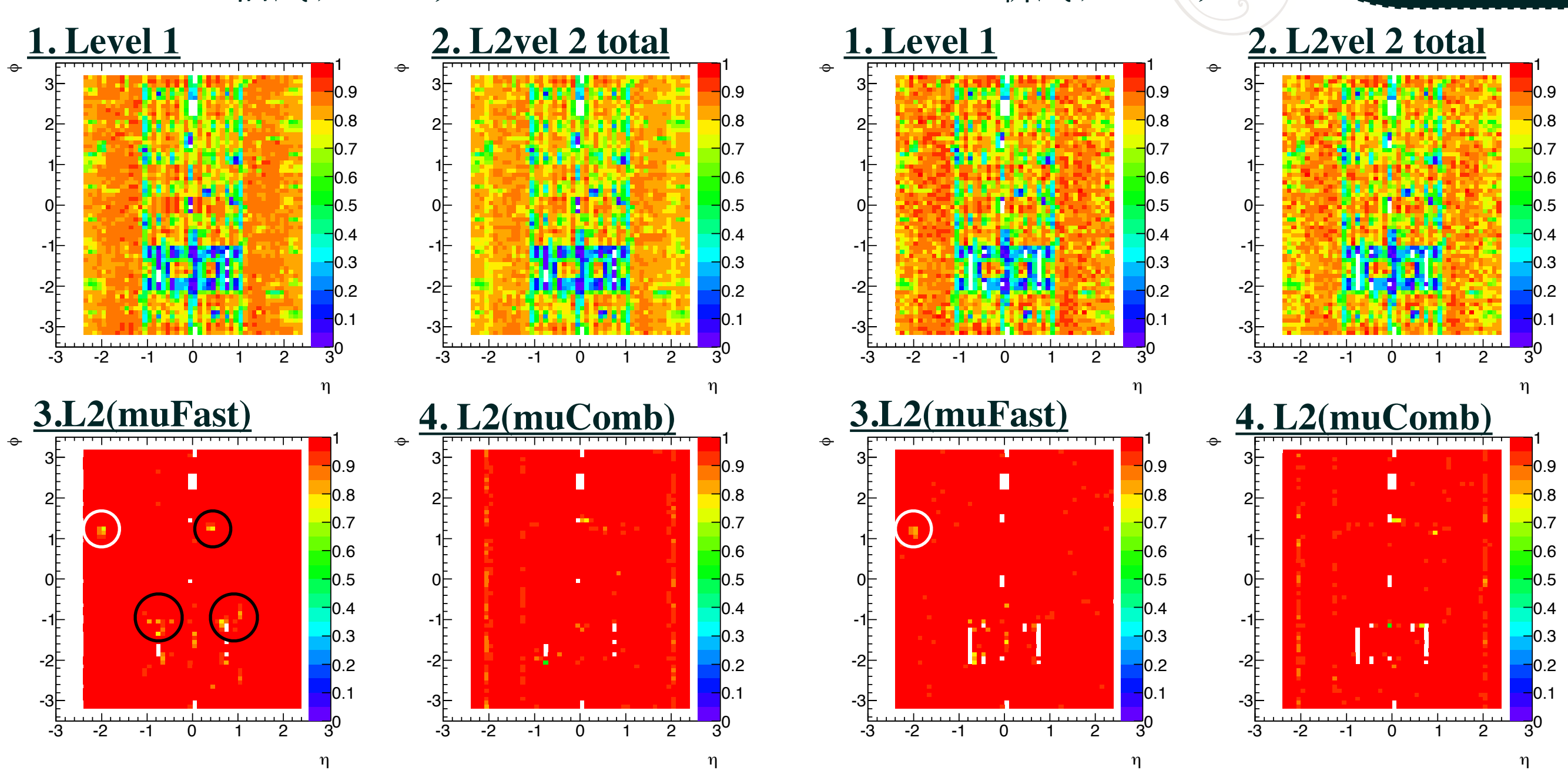


- High pT efficiency
- Low pT efficiency
- Summary

◎ 効率のη - φ二次元依存性



• 新式アルゴリズム



・黒丸で示されている部分の非効率はTGC/RPCのreadout error recoveryが働いており、 L2_mu24_tightでは改善している。ただし、白丸内は変わらず非効率であった(調査中)。

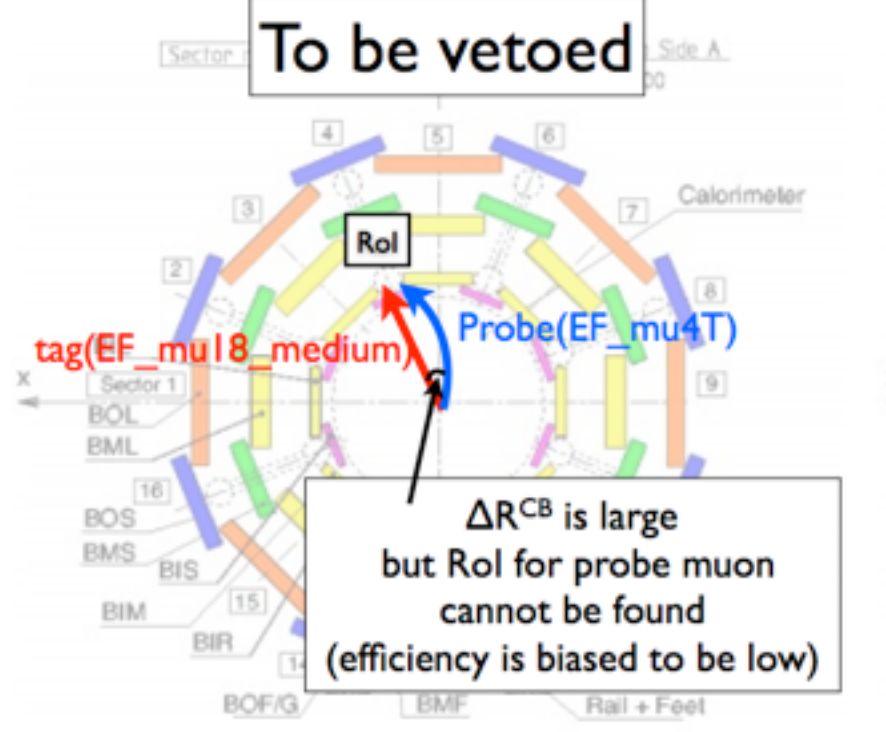
Δ J/ψ Tag&Probe(Low pT)

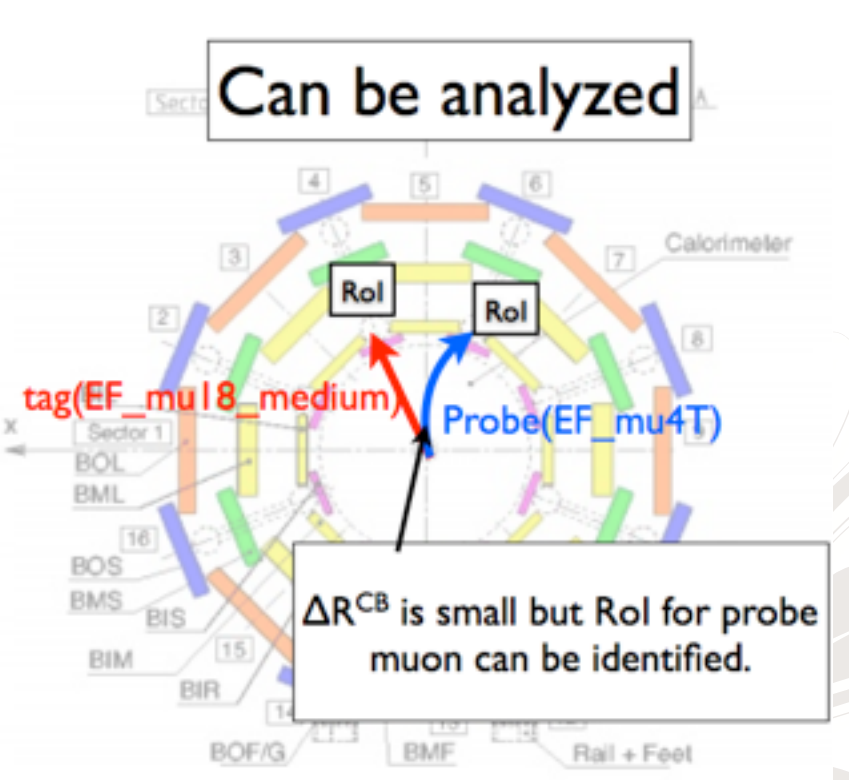
- Low pTのミューオンに対する効率測定には、 J/ψ由来のミューオンを用いてtag&probeを行う。
- ・しかし、Zに比べると困難な点が多い。
- High pTのミューオンに対するトリガーで、tagを要求しなくてはならない。
 --> EF(18GeV)を要求し、用いるJ/ψはboostされているものを利用する。

● Boostされたミューオンを利用することによる困難

・ミューオン対の飛跡が非常に近い。 low pTのミューオンは大きく曲がる。

--> 左図のようなものは、
tagとprobeを取り違ってしまう。





- Low pT efficiency

- Summary

Offline cut

- ●新たにJ/ψの信号を拾うために、2つの特殊なトリガーを導入し、これによって取得されたイベントを利用する。
 - L2までに対してはEF_mu18_tight_Jpsi_EFFS、 EFに対してはEF_mu18_tight_L2_2mu4T_jpsimumuで取られたものであることを要求。

• Mass cut

• J/ψのmass windowとして、 2.8 < Mass[GeV] < 3.4を要求する。

Offline cut

- $|\eta| < 2.4$
- |Z0| < 10[mm]
- Inner detectorのクオリティカット
- 2つのミューオン間のdR(dR_{µµ}) > 0.2
- Probe: L1を通過していることを要求(dR(@RoI layer) < 0.12)

- Low pT efficiency

- Summary

Efficiency plot(L2(4GeV))

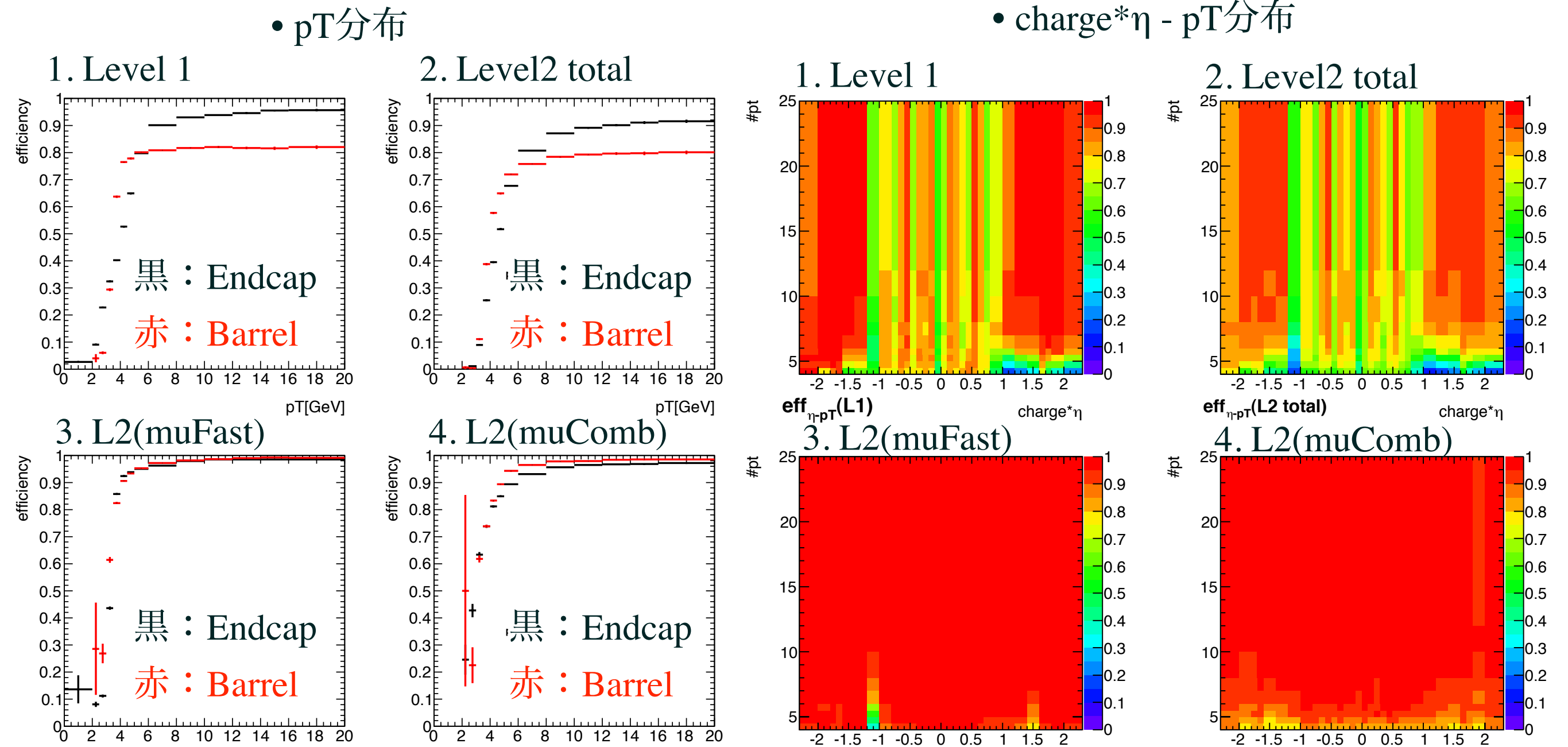
- Low pT efficiency
- Summary

eff_{n-nT}(muComb)

- ●まず、L2(4GeV)に対する効率を測定した。
 - ・結果はpT分布、charge*η-pTの分布として示す。

pT[GeV]

• muFastの効率はlow pTでおかしな振る舞いが見える(調査中)。



eff_{n-pT}(muFast)

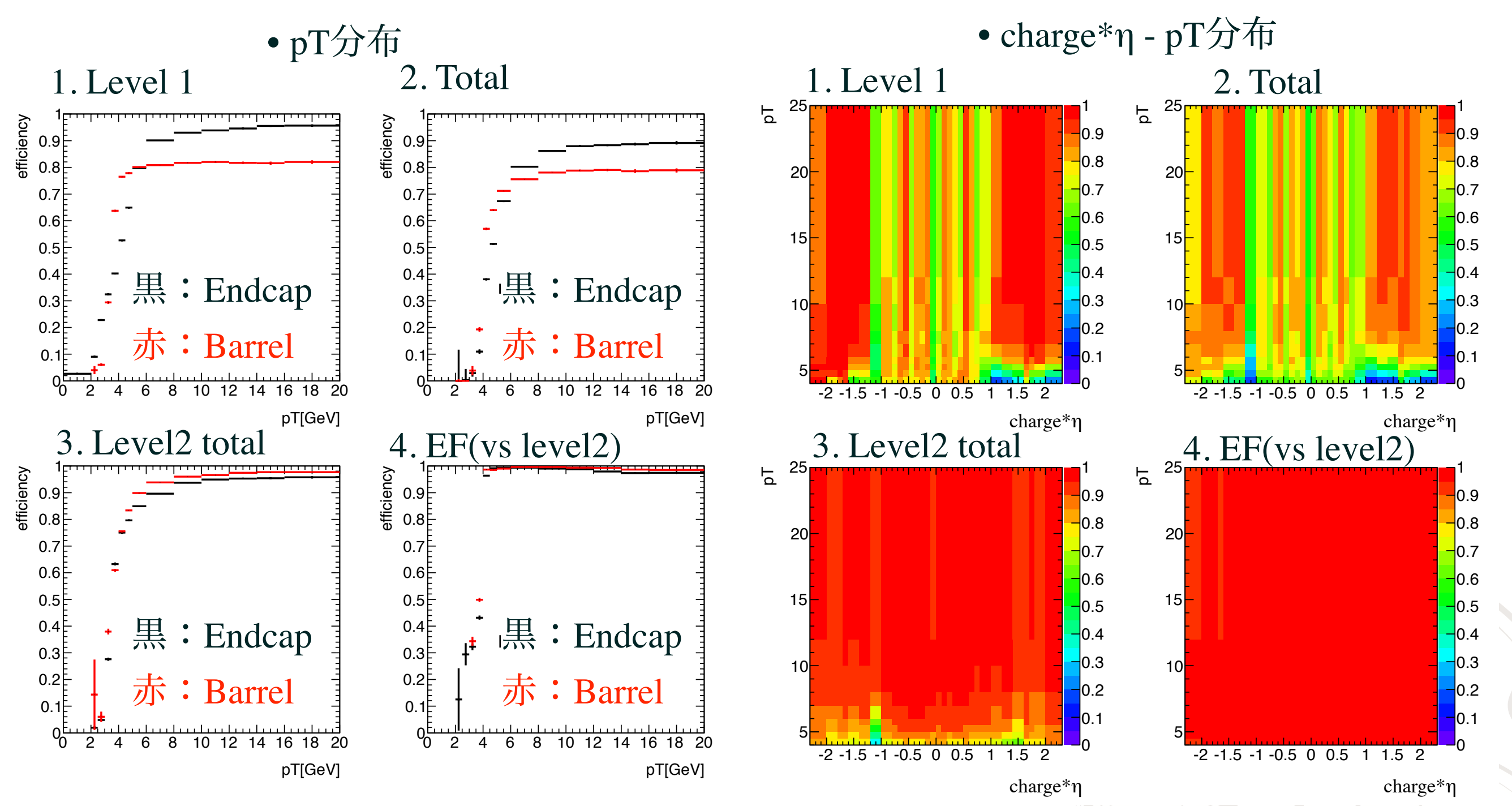
charge*n

pT[GeV]

Efficiency plot(EF(4GeV))

- Low pT efficiency
- Summary

- ●次に、EF(4GeV)の効率を個別に測り、先ほどの 結果と合わせて最終的な効率を計算した。
 - ・結果はpT分布、charge*η-pTの分布として示す。



Summary & Future work

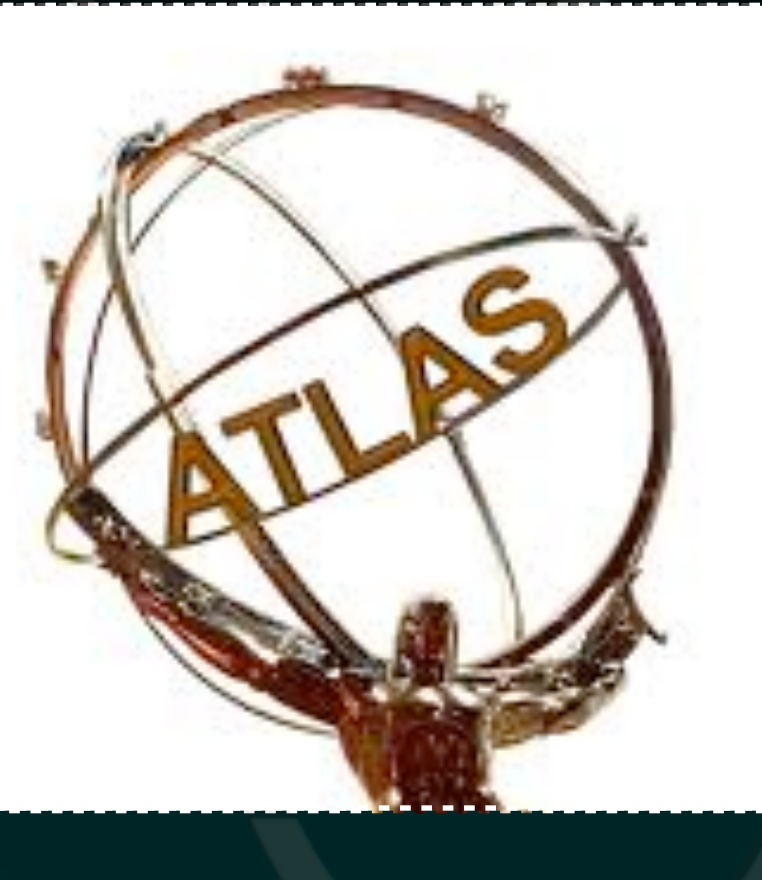
●まとめ

- ATLAS実験に於いては、データ量が膨大であるために、 必要なデータを効率よく選別し、記録する必要がある。
- その働きをするミューオントリガーシステムについての効率評価を行うために、 Tag&Probeという方法を用いた。
- Z, J/ψ由来のミューオンを利用することによって、HIgh pTとLow pTのミューオンに 対する効率を求めることができた。

●今後

- 2012年の全runに対して効率測定を行うには至っていないため、今後はより 多くのrunに対して効率を求めていく。
- 効率測定の結果、理由のわからない非効率がいくつか起きており、 原因調査の必要がある。





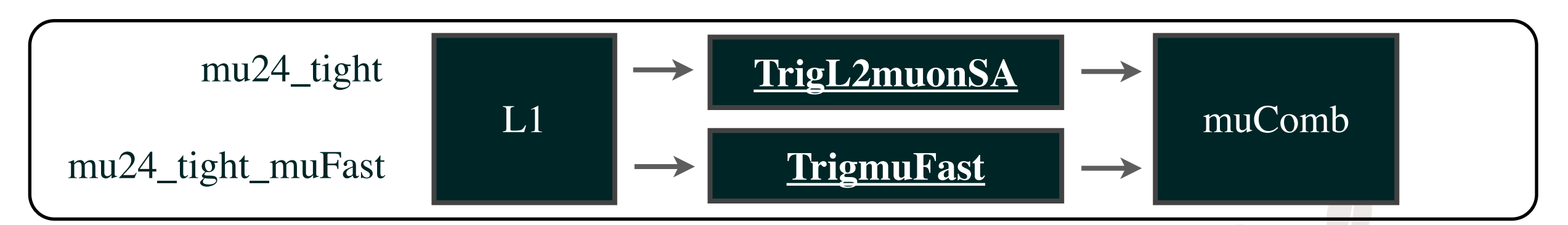
Backup

Motivation

- Motivation
- Tag&Probe method
- High pT efficiency
- Low pT efficiency
- Summary

●この研究の目的としては、以下のようなものがある。

- ・まず、現状で動いているトリガーシステムが、どの程度の効率で働いているかを確認し、効率が悪くなっている領域がないかどうかをチェックすること。
- period Cからは石塚さん(東工大)らによってmuFastのアルゴリズムが新しくなり、
 TrigmuFastからTrigL2muonSAというものに変わった。
 具体的には、Barrelでのresolution改善、野辺さん(東工大)による新たなLUTの導入、
 TGC/RPCの読み出しエラーのrecoveryの導入が主な改善点である。
 しかし、比較のためにTrigmuFastも平行して、別のトリガーチェインとして動いており、
 性能の変化を確認することができるため、この確認を行う。

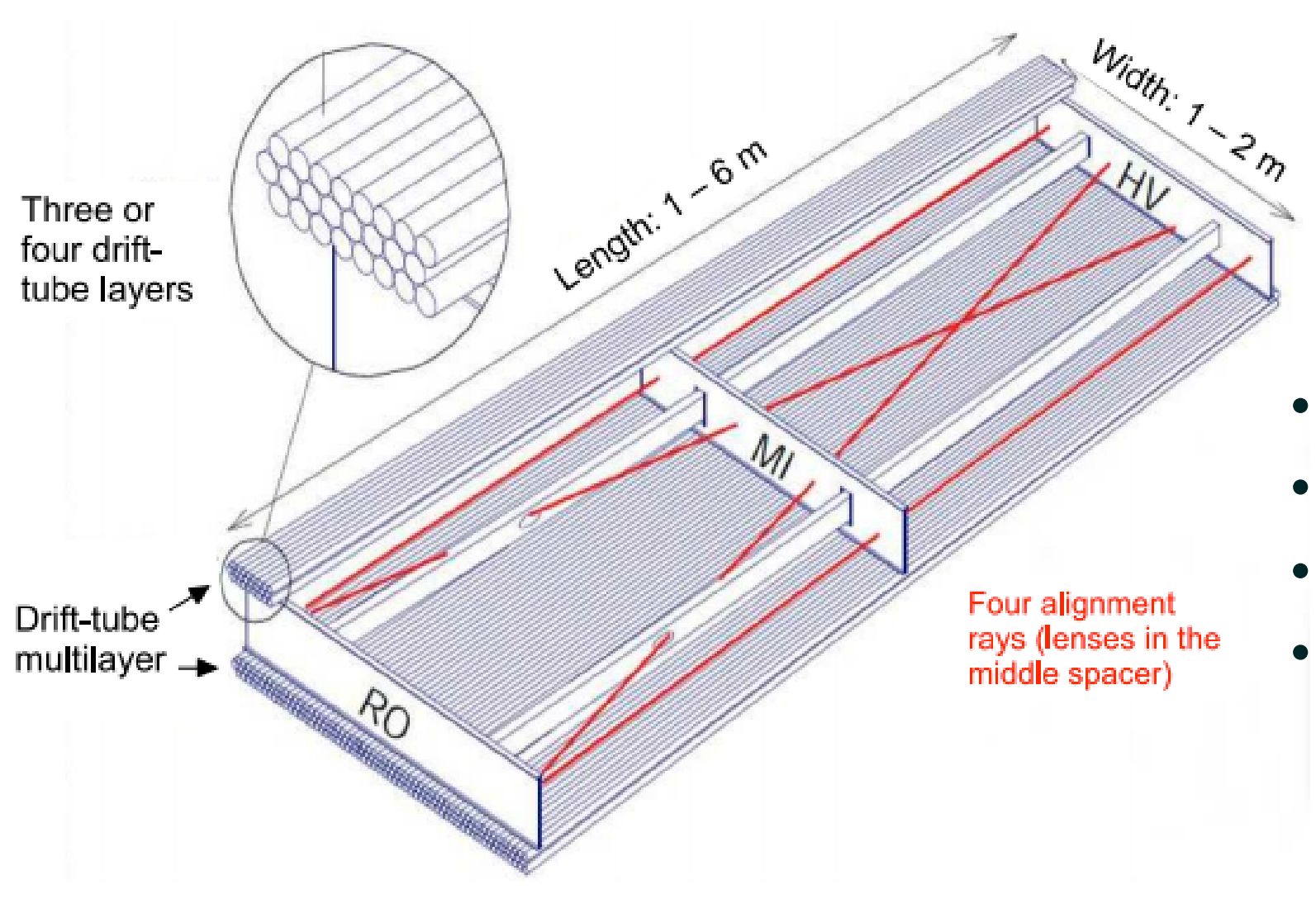


確認して効率が落ちているところ、または予期せず性能が改良している点があれば、 その原因を調査する。

・テキスト



MDT(Muon Drift Tube)



• 位置 : lηl < 2.7(2.0)

• 分解能: 35µm(z方向)

• ν - \vdash : 150Hz/cm²

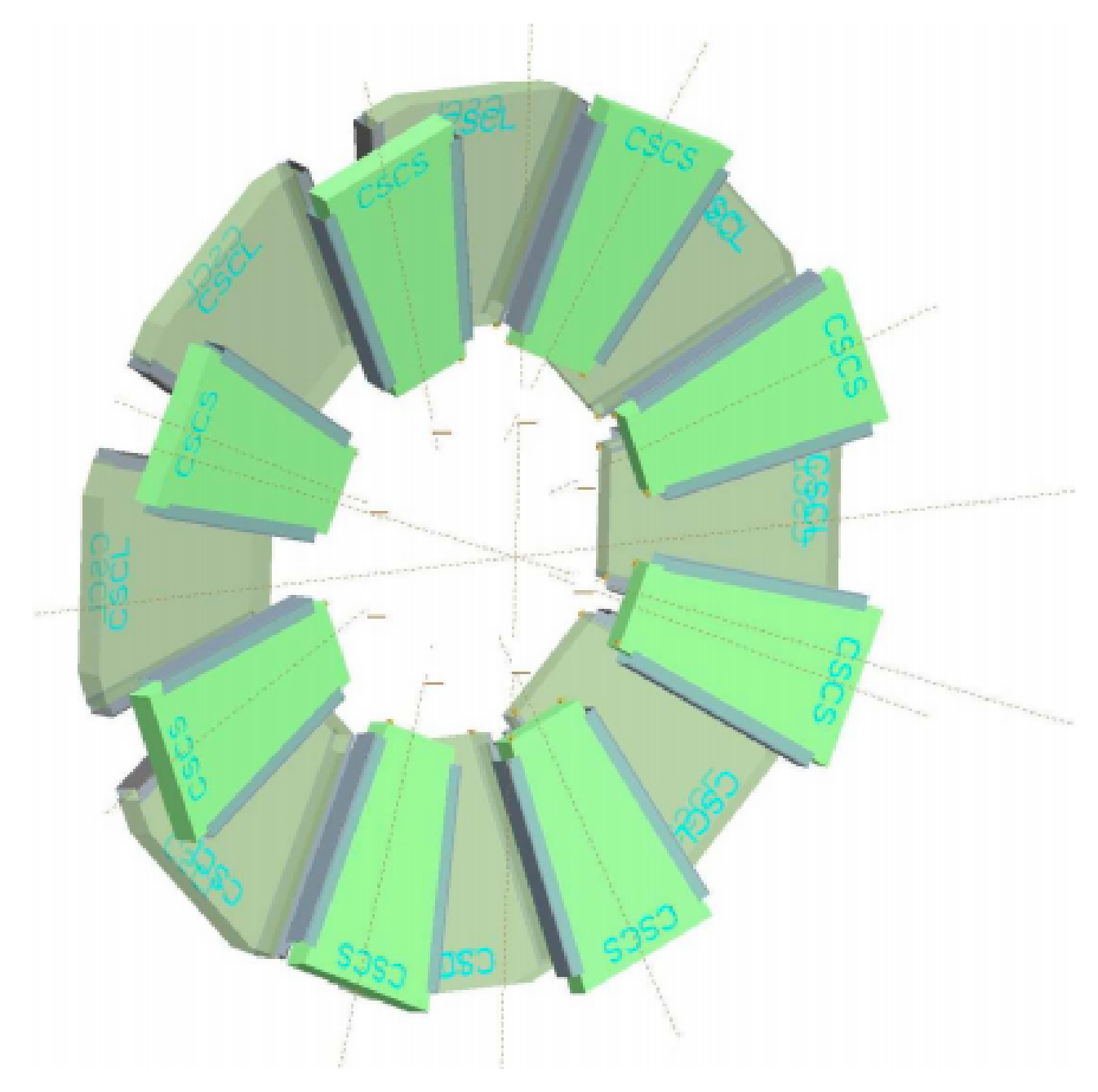
3層で構成され、各層は それぞれtubeが6層俵積みで 構成される。

個々のtubeの分解能は、80μm だが、3層のtubeでセグメント を構成するため、全体として 35μmを実現する。

・テキスト



• CSC(Cathorde Strip Chamber)



• 位置 :2.0 < lηl < 2.7

• 分解能: 40µm(R方向)

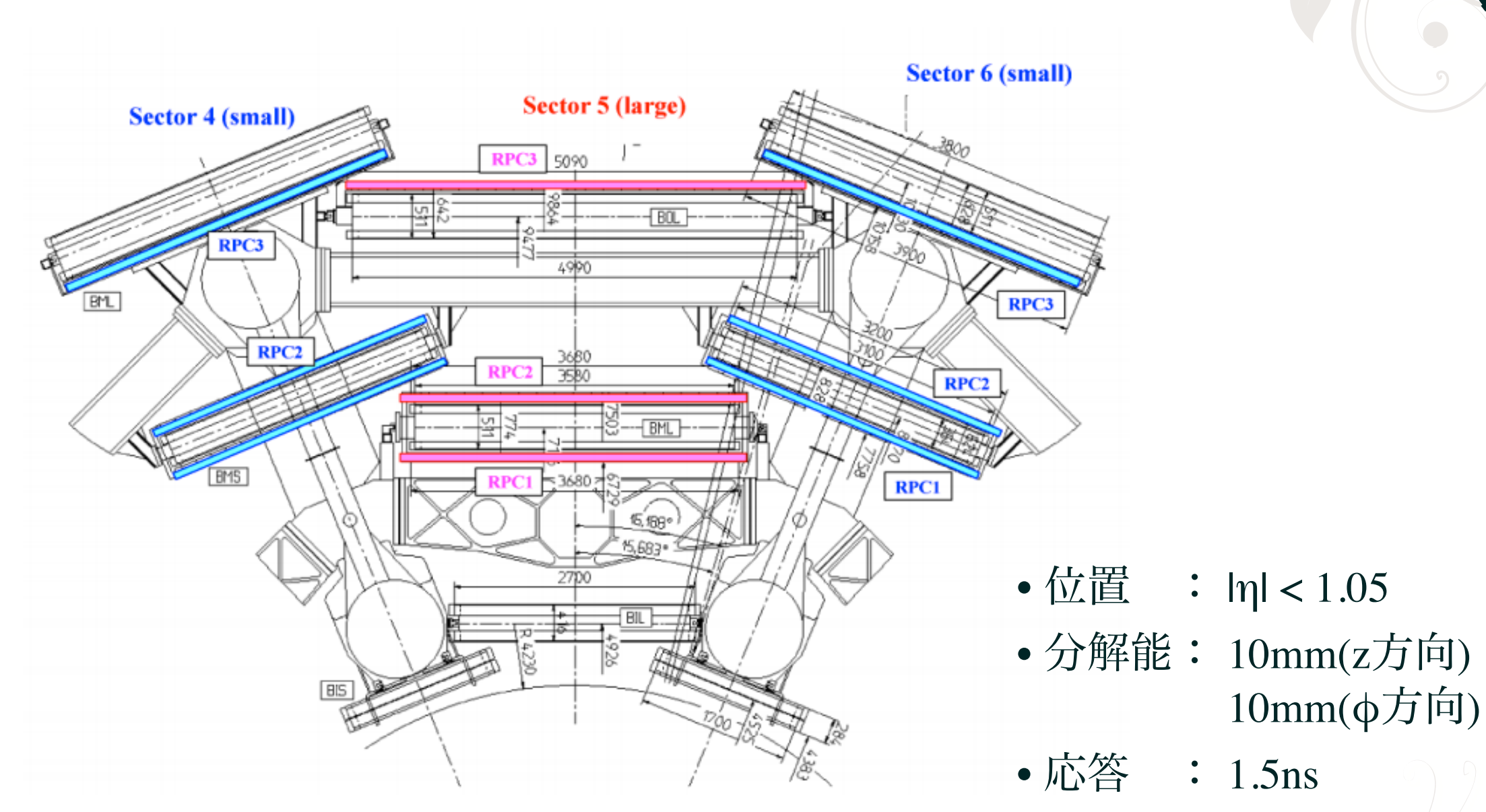
• ν - \vdash : 100Hz/cm²

• MWPC型。レートの高さで採用。

テキスト



• RPC(Resistive Plate Chamber)

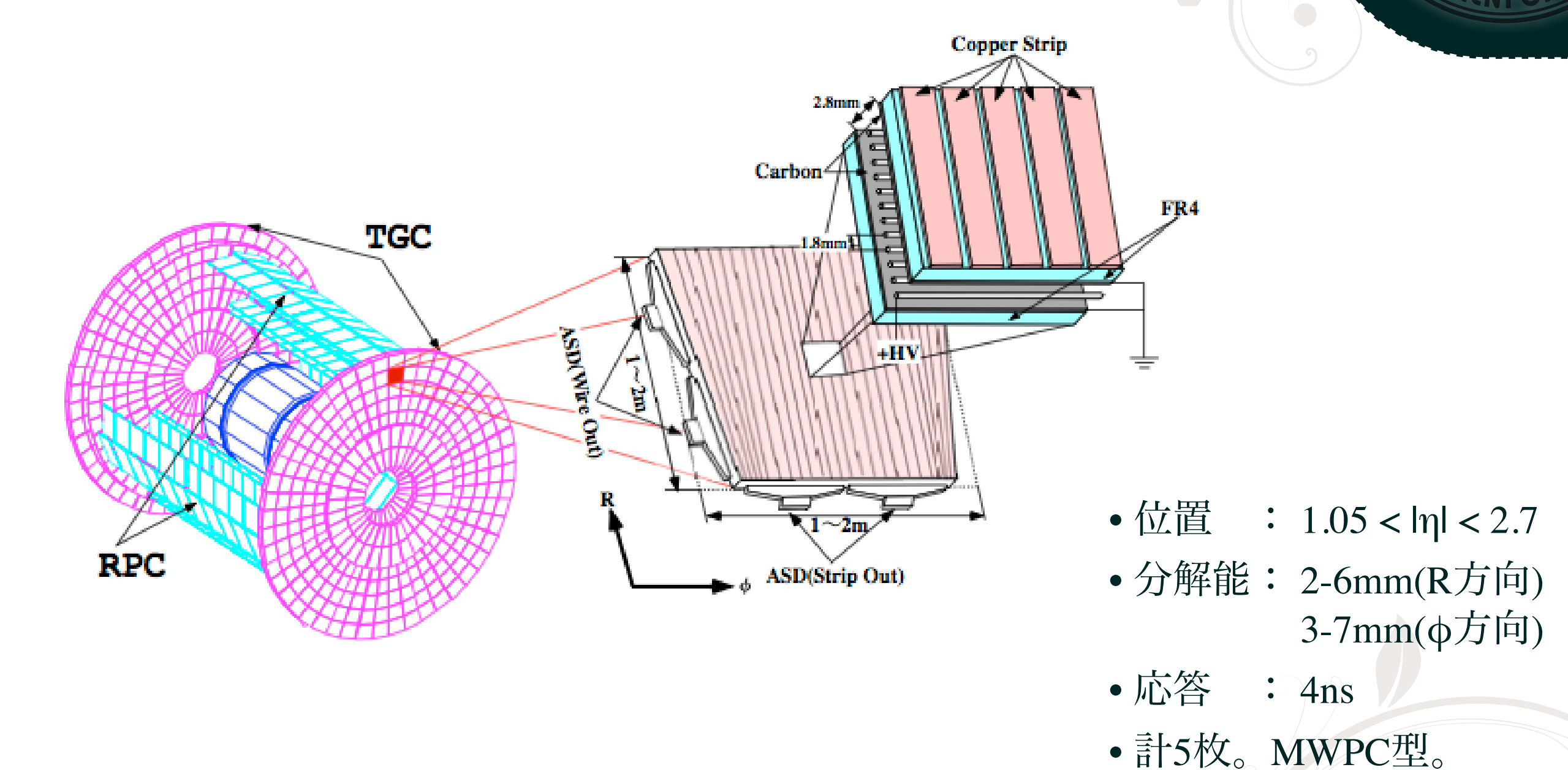


平行板にガスを封入した形の検出器。 ストリップが直行に重ねられており、 二次元の読み出しが可能。

- テキスト

*TGC

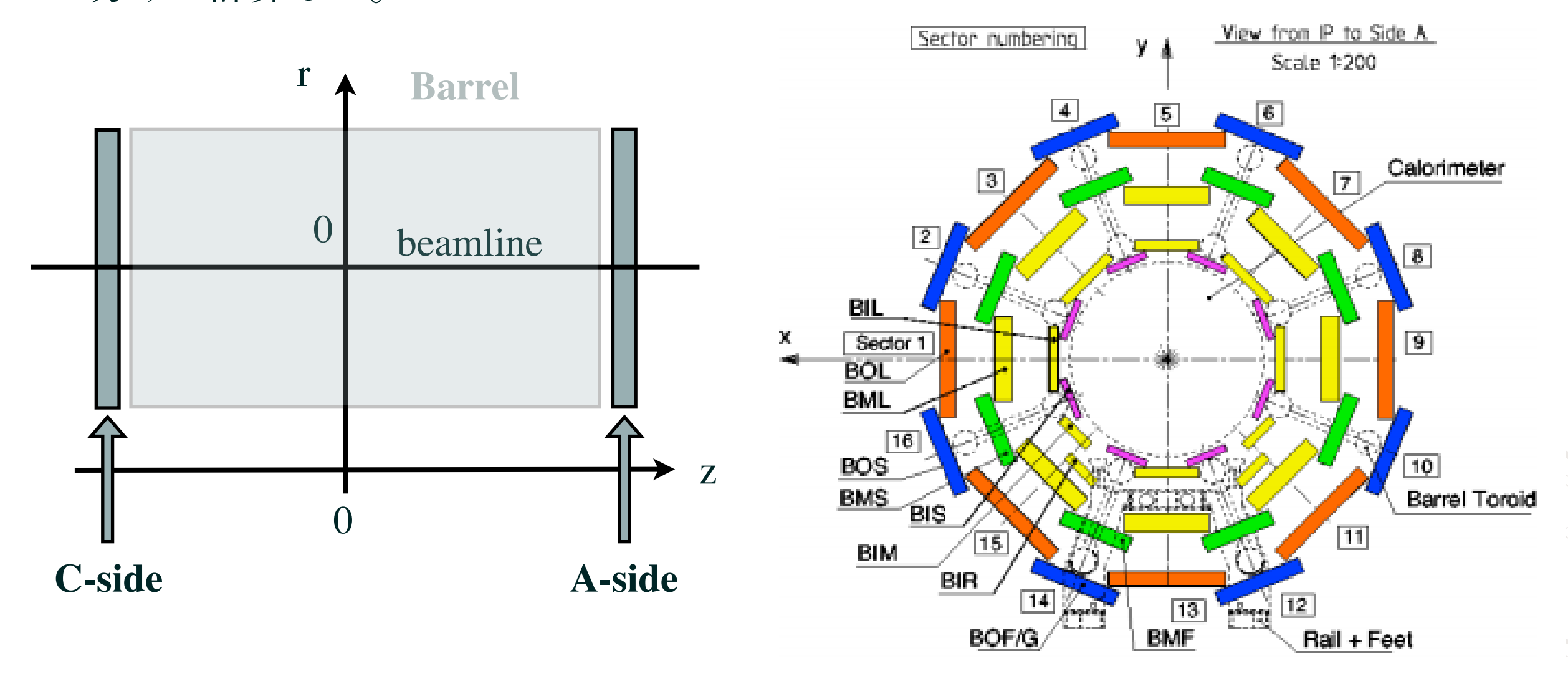
● TGC(Thin Gap Chamber)



Barrel and Endcap

- High pT efficiency
- Low pT efficiency
- Summary

- ▶リガー効率はそれぞれの領域毎に測定し、 比較、評価を行う。
 - Endcap部分は左図のようにA-side、C-sideが存在するが基本的には分けずに Endcap部分というくくりで示す。
 - Barrel部分は4つに分類され、各々の性能も異なるため、それぞれについて効率を分けて計算した。



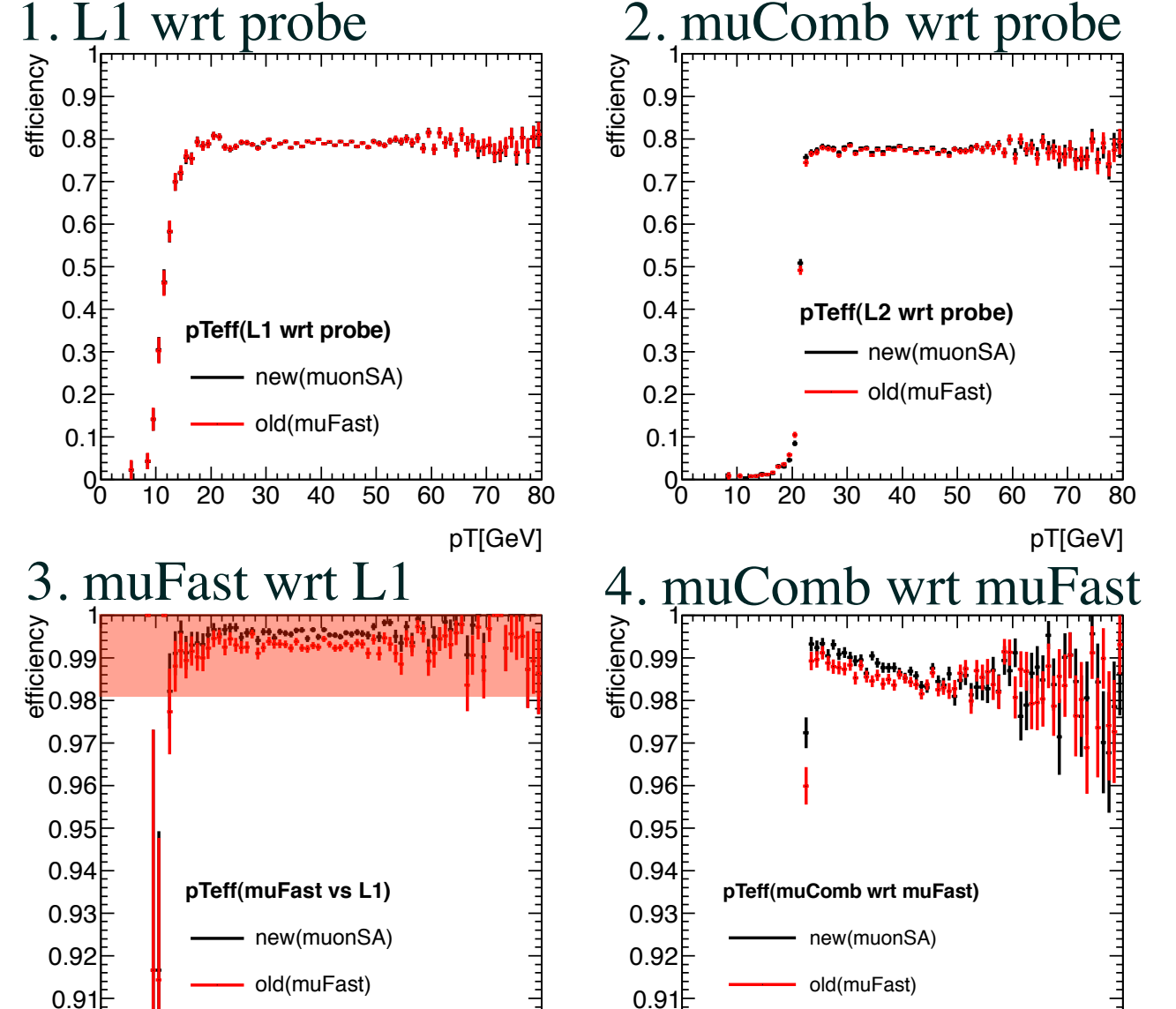
- High pT efficiency
- Low pT efficiency
- Summary

● 効率のpT分布(all Barrel Large)

• muFastの効率は微増ながら改良。 他はほぼ変化はなく80%程度で安定している。

• Charge -1

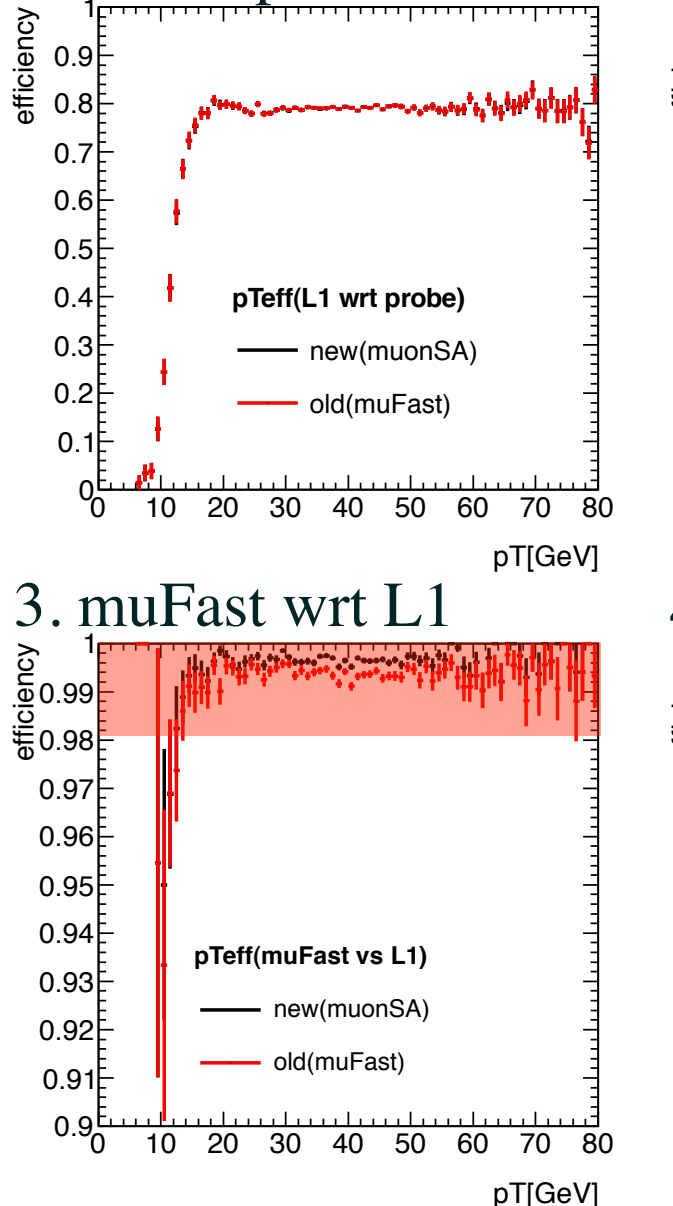
• Charge +1



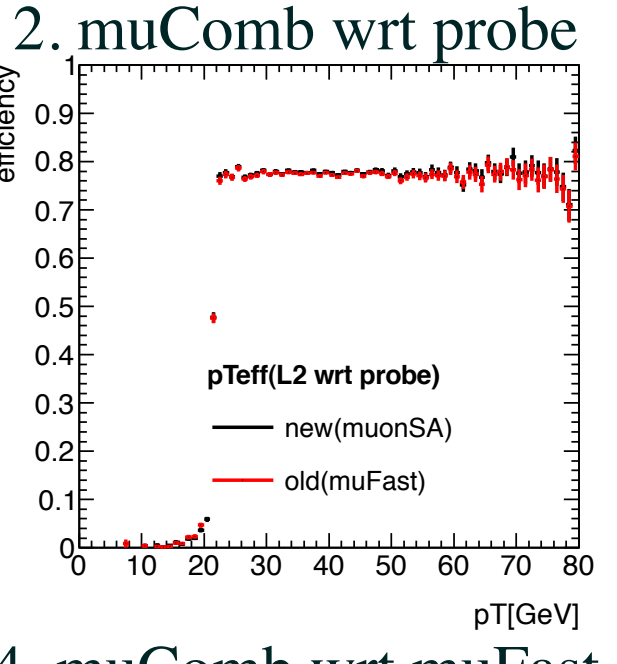
pT[GeV]

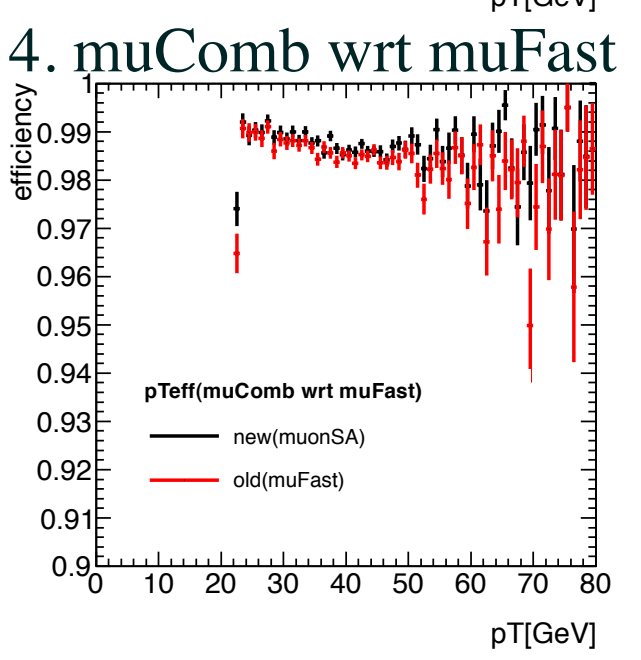
30 40 50 60

pT[GeV]



. L1 wrt probe





- High pT efficiency

- Low pT efficiency

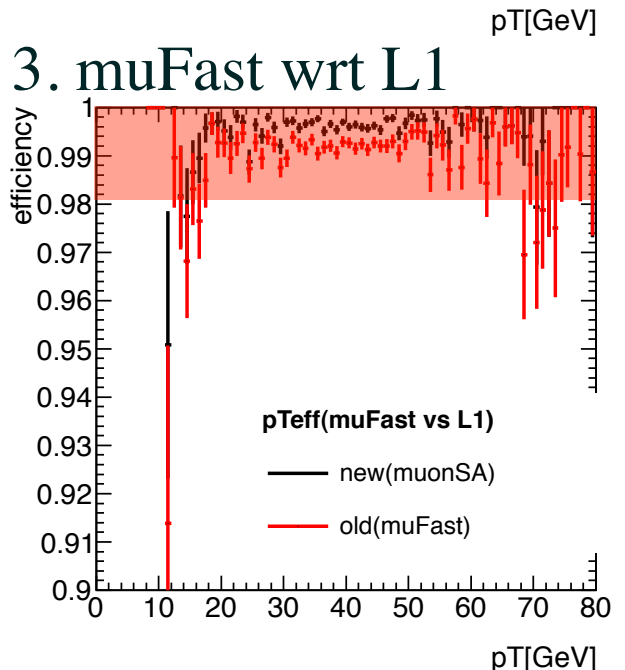
- Summary

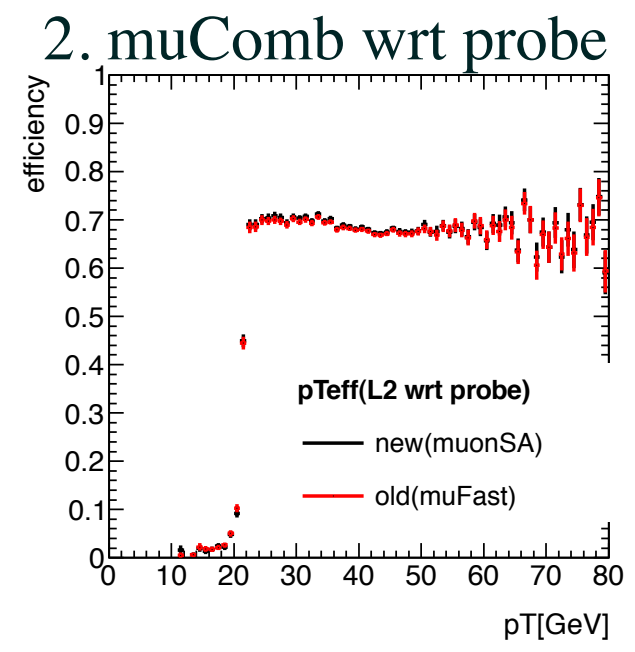
Efficiency plot

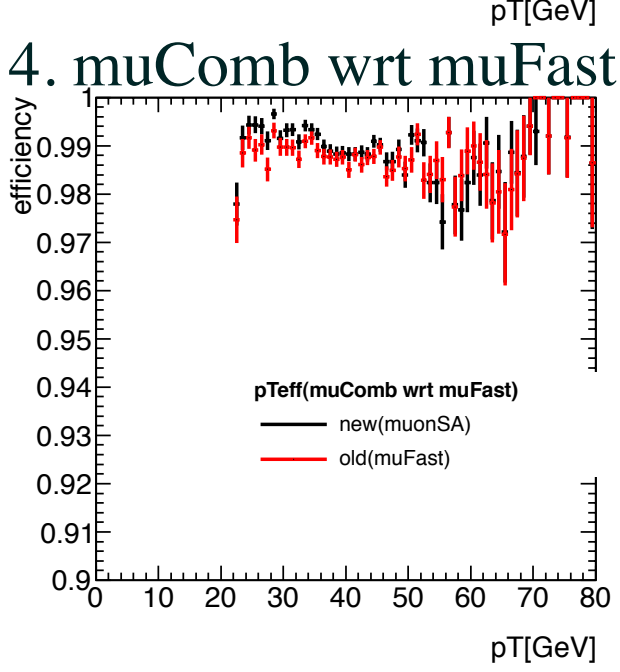
- - ・同じく、muFastのefficiencyが微改良。

● 効率のpT分布(all Barrel Small)

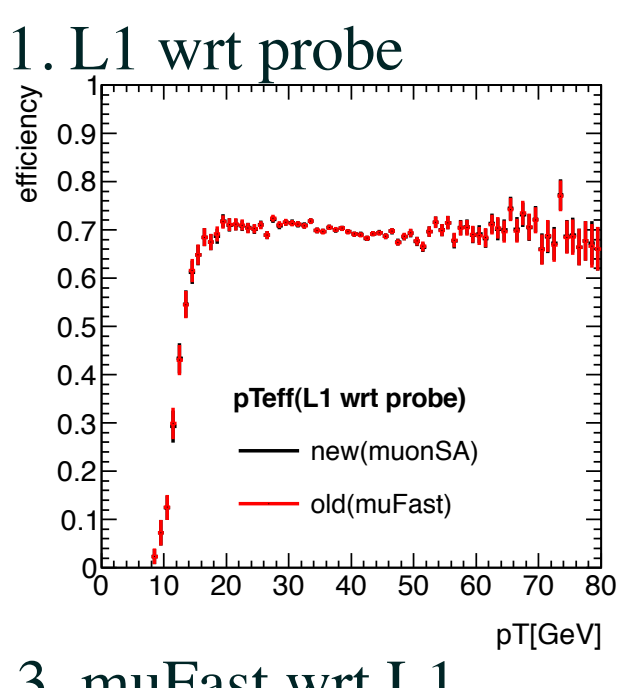
- Charge -1

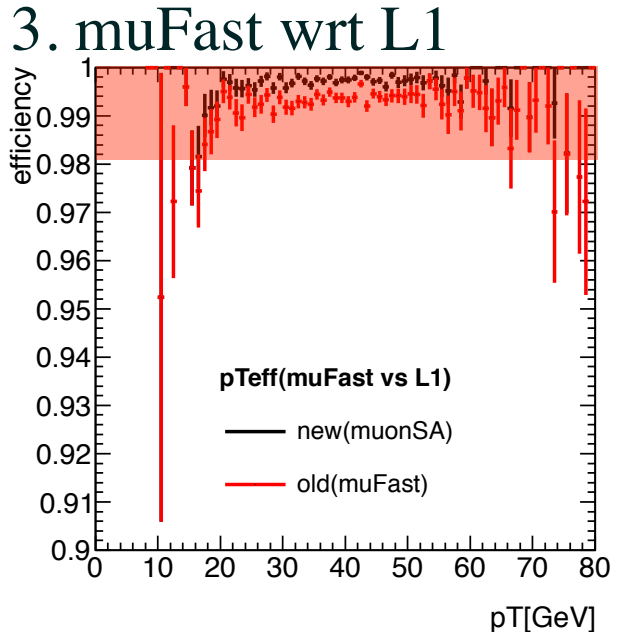


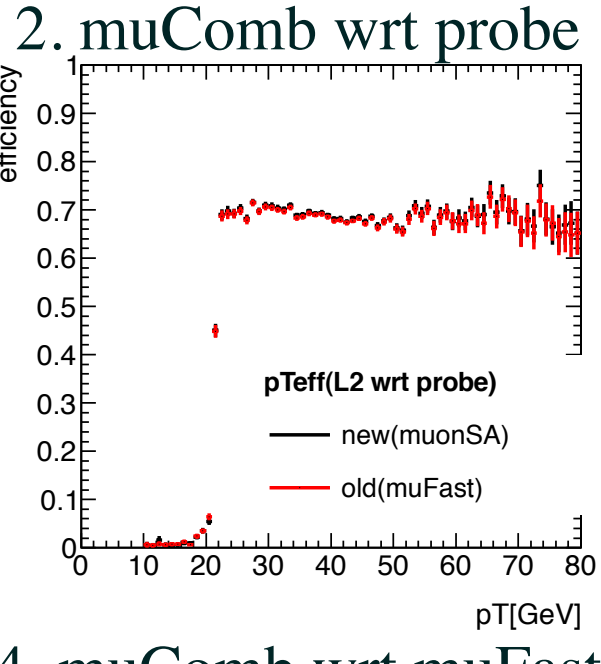


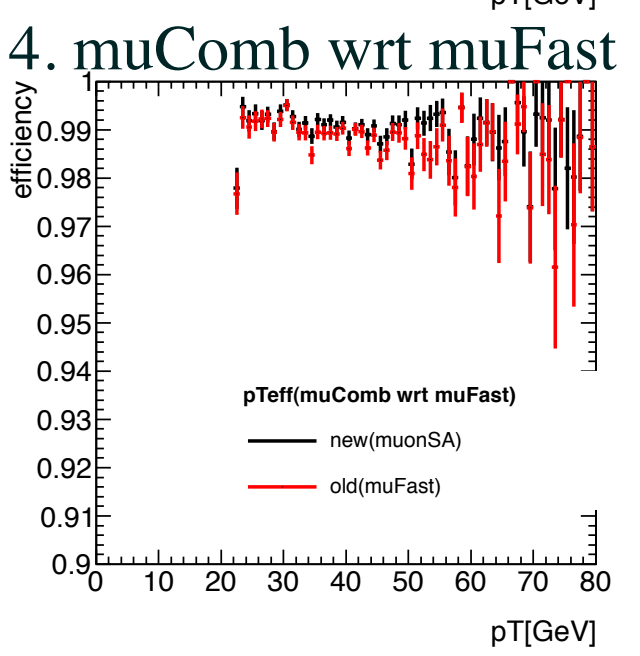








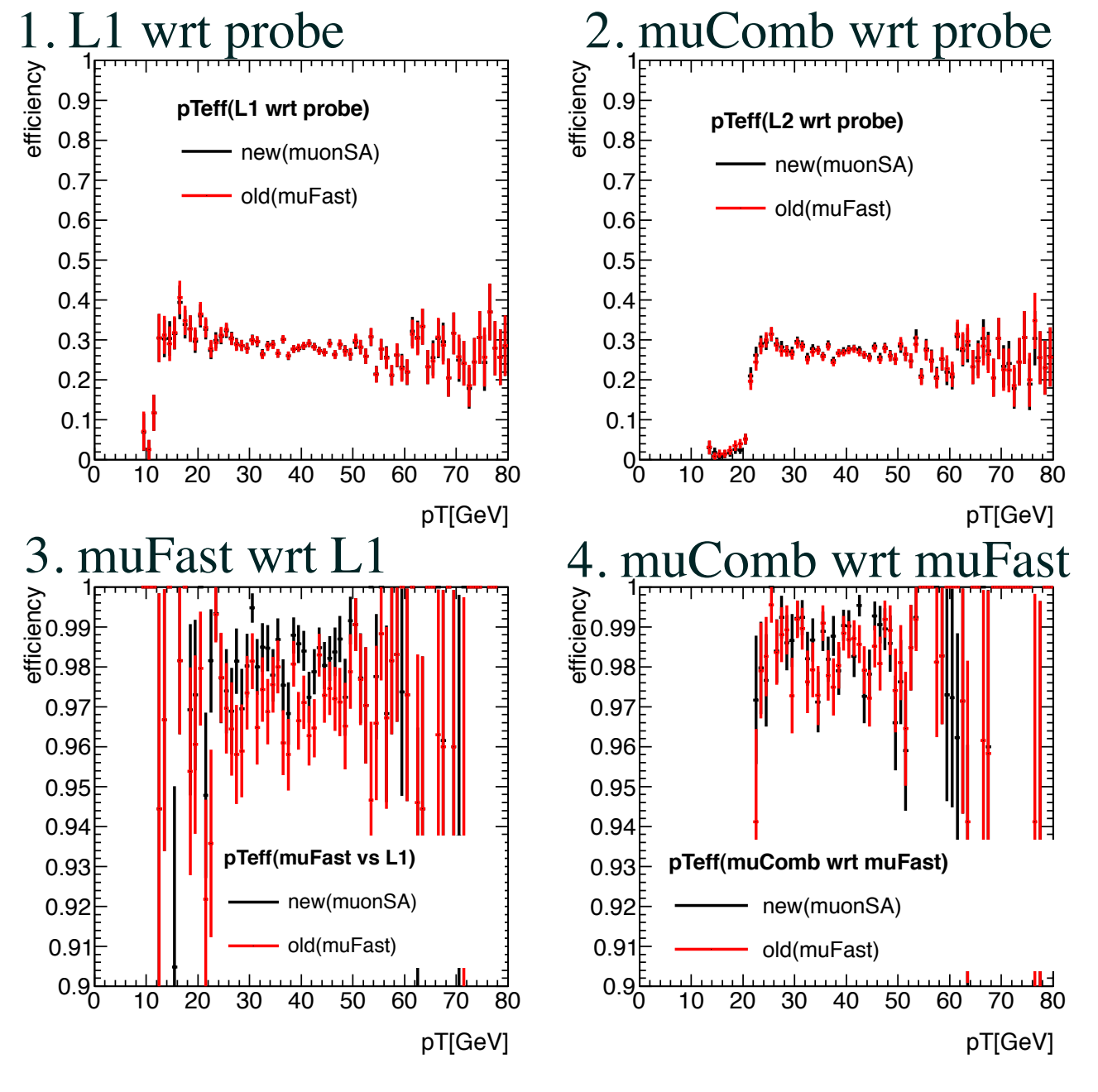




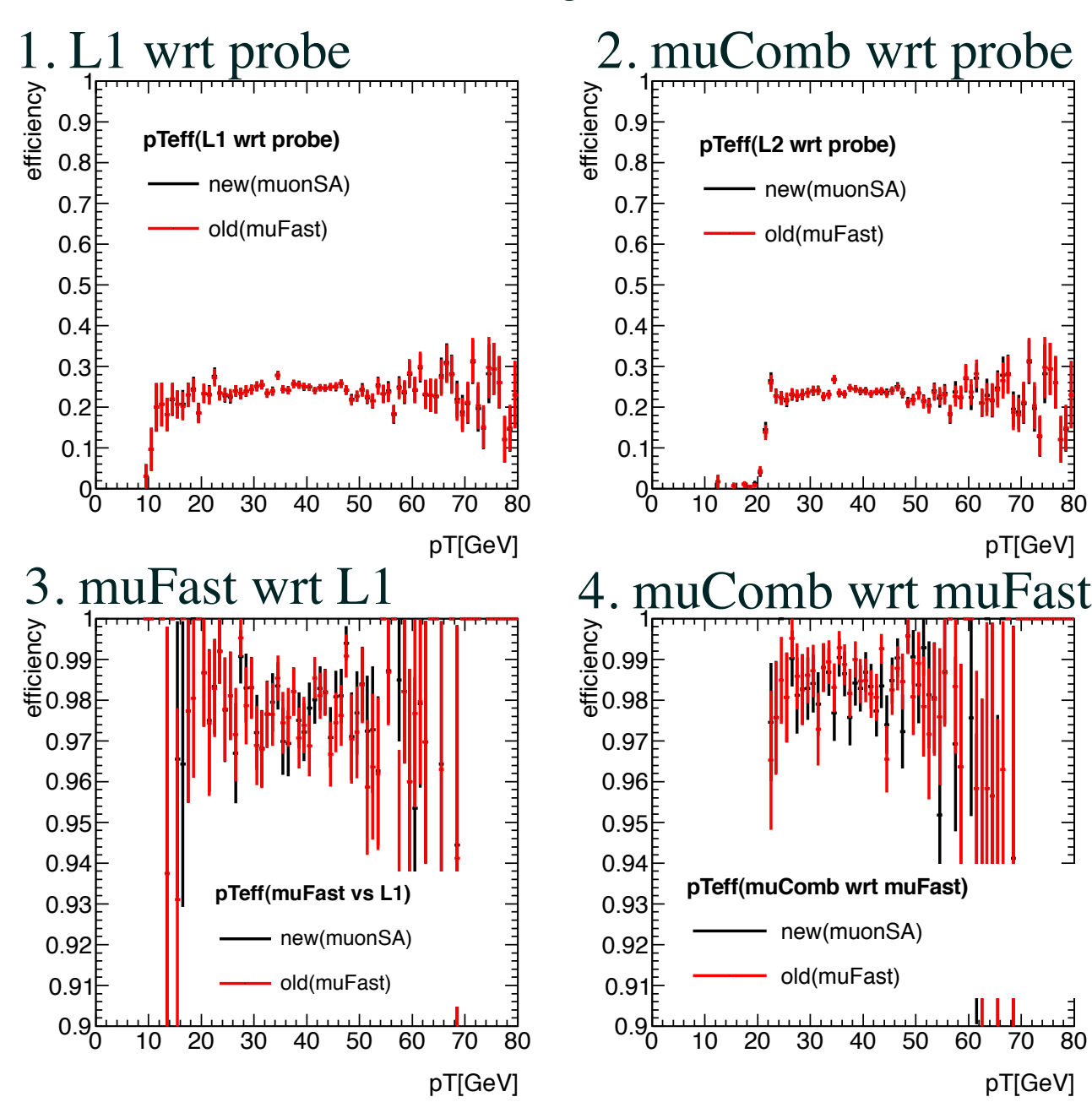
- High pT efficiency
- Low pT efficiency
- Summary

- 効率のpT分布(all Barrel SmallSP)
 - ・検出器の足の部分にあたり、効率は20%と総じて悪い。

• Charge -1

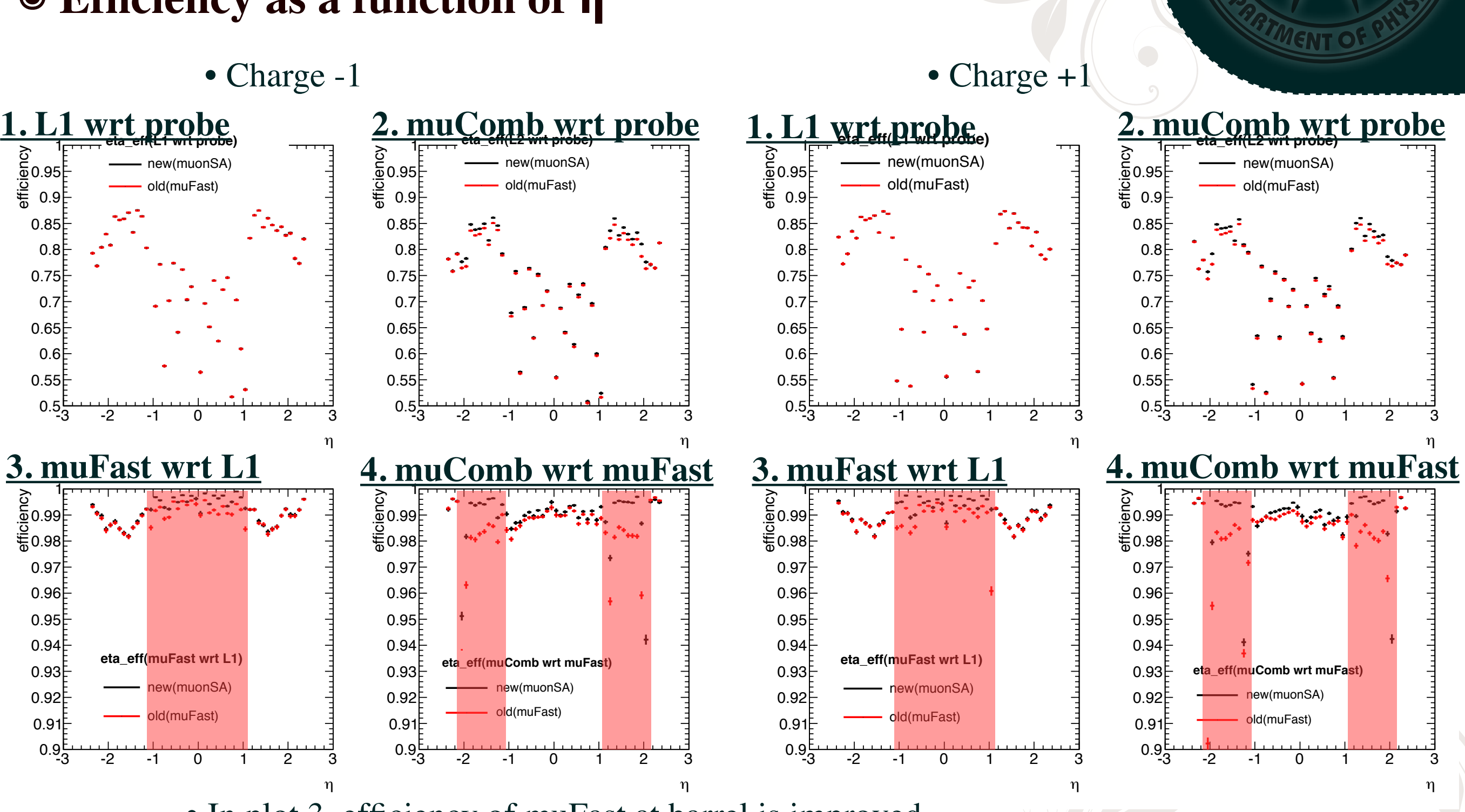


• Charge +1



- Efficiency plots
- Problem & reason
- Summary

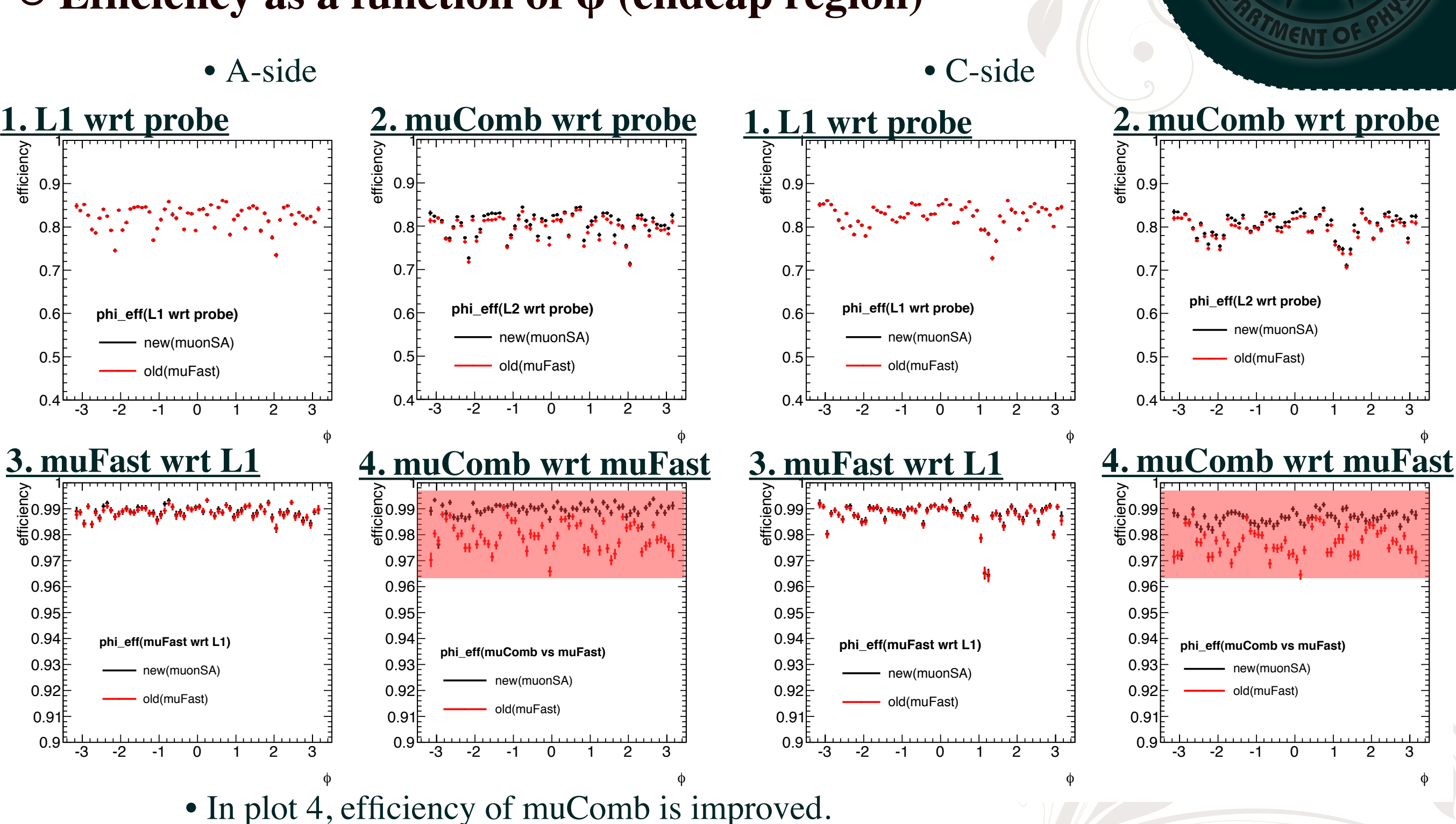
ullet Efficiency as a function of η



- In plot 3, efficiency of muFast at barrel is improved.
- In plot 4, efficiency of muComb at endcap(both side) is improved.

- Efficiency plots
- Problem & reason
- Summary

\bullet Efficiency as a function of ϕ (endcap region)

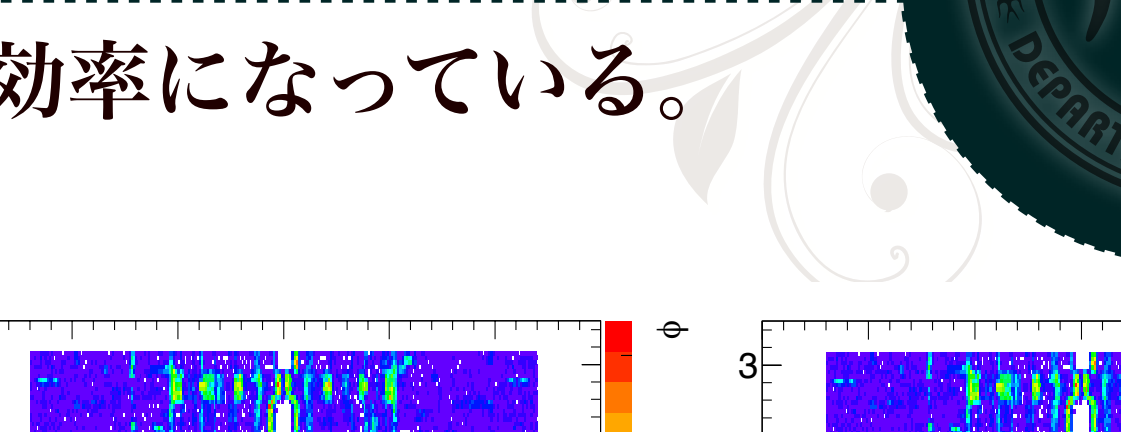


(from zig-zag in TrigmuFast to flat in TrigL2muonSA)

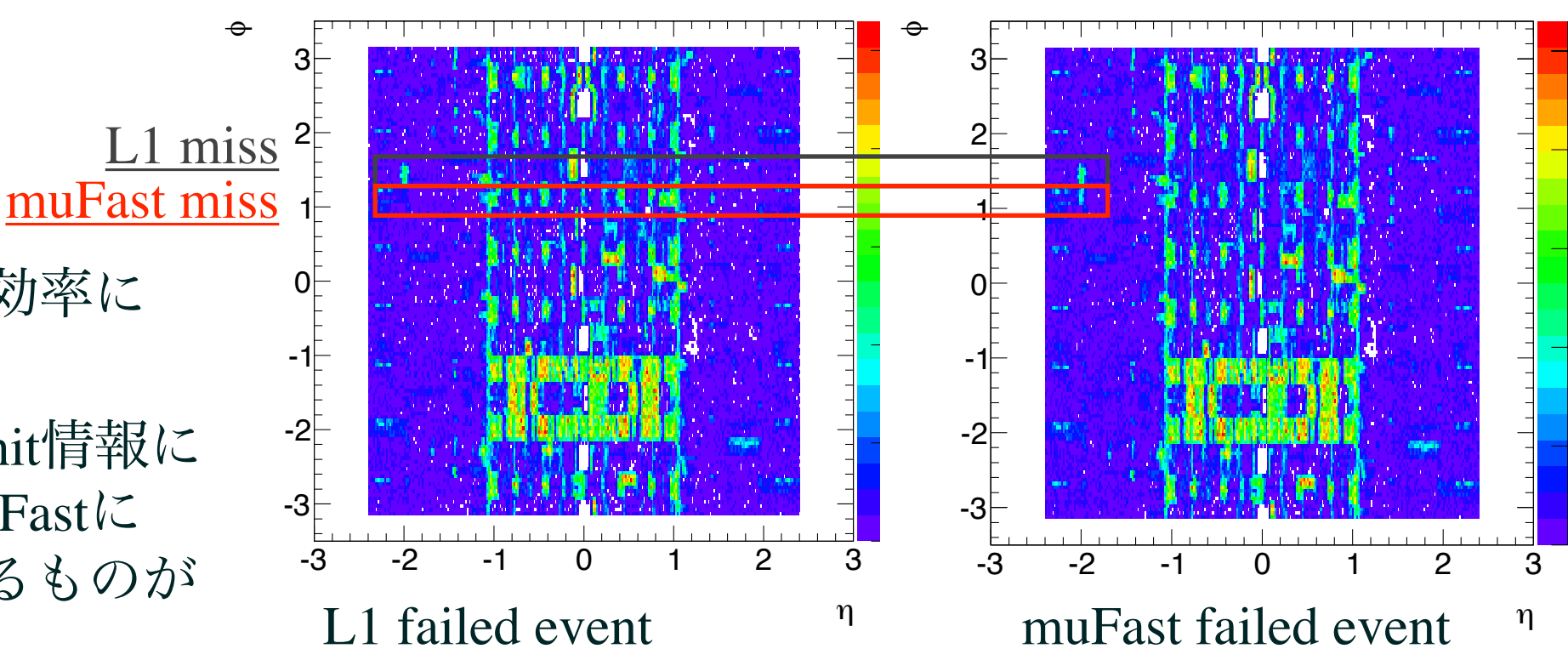
・テキスト

Inefficiency

® (η, φ)=(-2.0,1.2)でmuFastが非効率になっている。

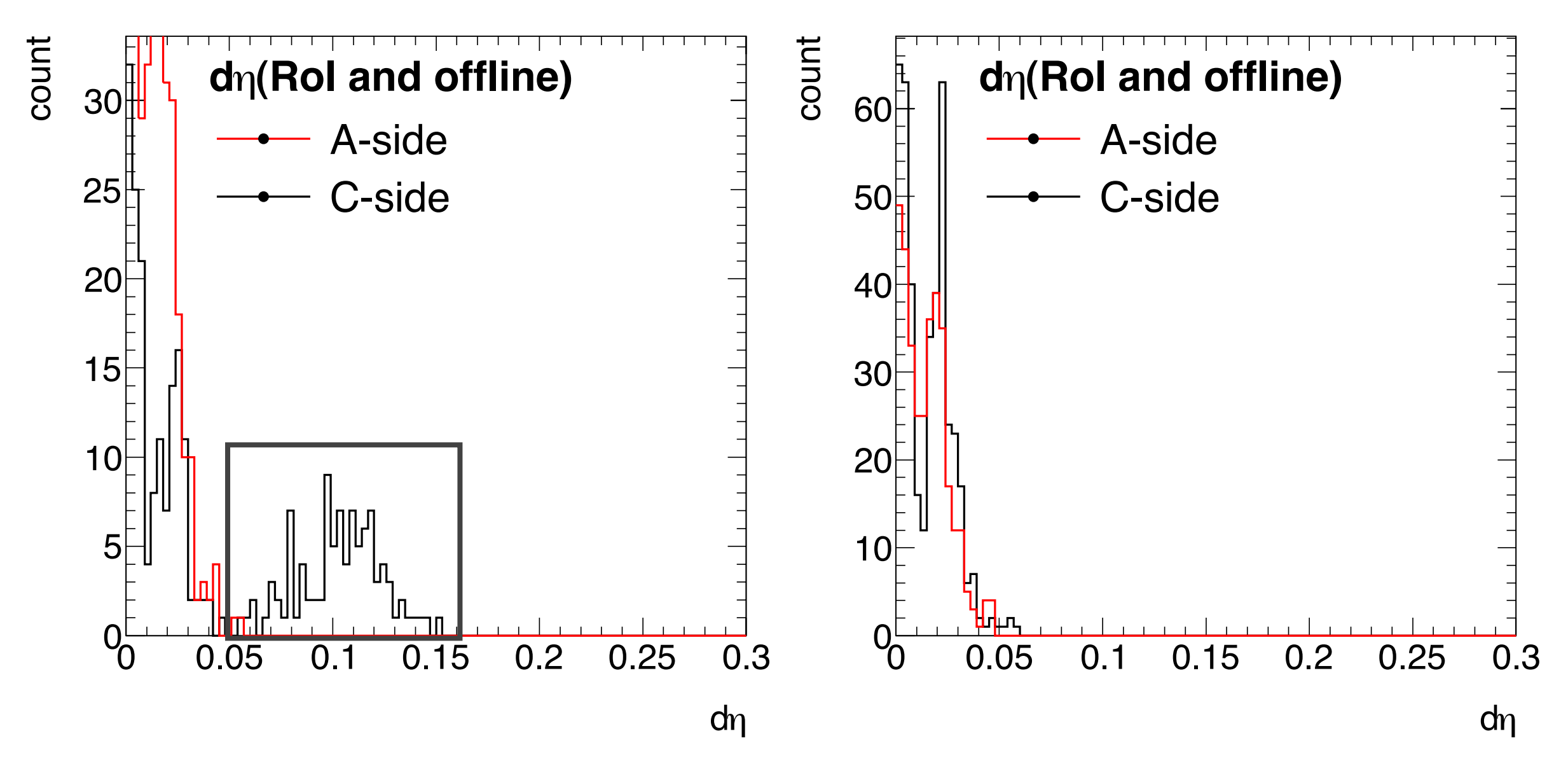


- ・よく見ると、Level 1で非効率に なっている領域が近い。
- ・よく見ると、TGC部分のhit情報に問題があり、最終的にmuFastに渡される情報が誤っているものが多数であった。



Inefficient region

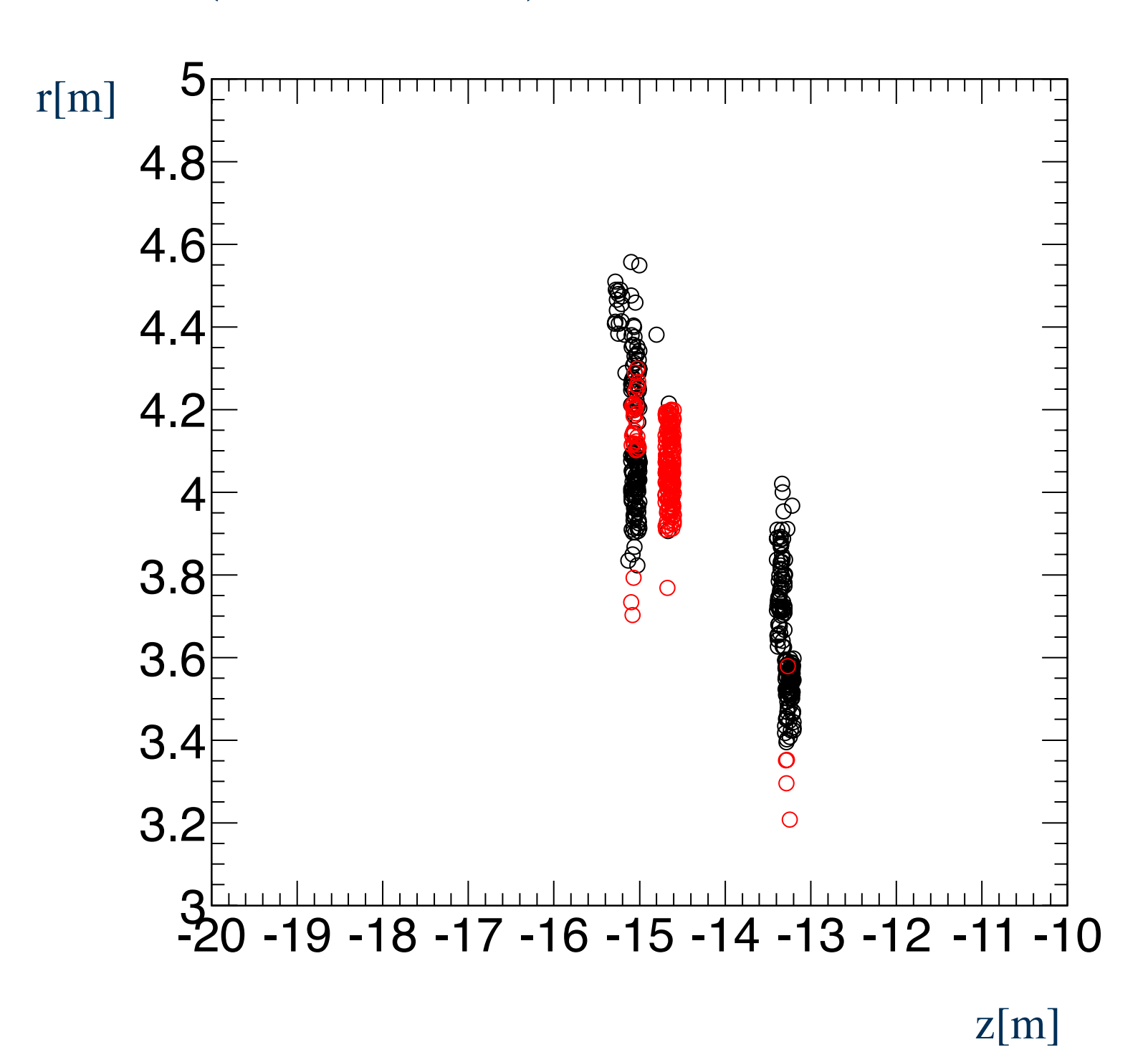
- $(\eta, \phi) = (-2.0(2.0), 1.2)$ と $(\eta, \phi) = (-2.0(2.0), -1.2)$ 付近
 - Roadのetaとofflineのetaでdetaを計算



- roadのηがofflineとズレているのが確認できる。 (左図、黒)
- また、0.05以内に入っているものが非常に少ない。

$(\eta, \phi) = (-2.0, 1.2)$

• TGC(Mid1とMid2)のrz二次元分布



- 黒はroadとofflineのdnが0.05以下
- 赤はroadとofflineのdnが0.05以上

赤はz,rともにMid1とMid2で同じ値が入っているものが多数(z:-14.6)
 付近 r:4.1を中心にばらつき)。
 -->dummy?

- Problem & reason

- Summary

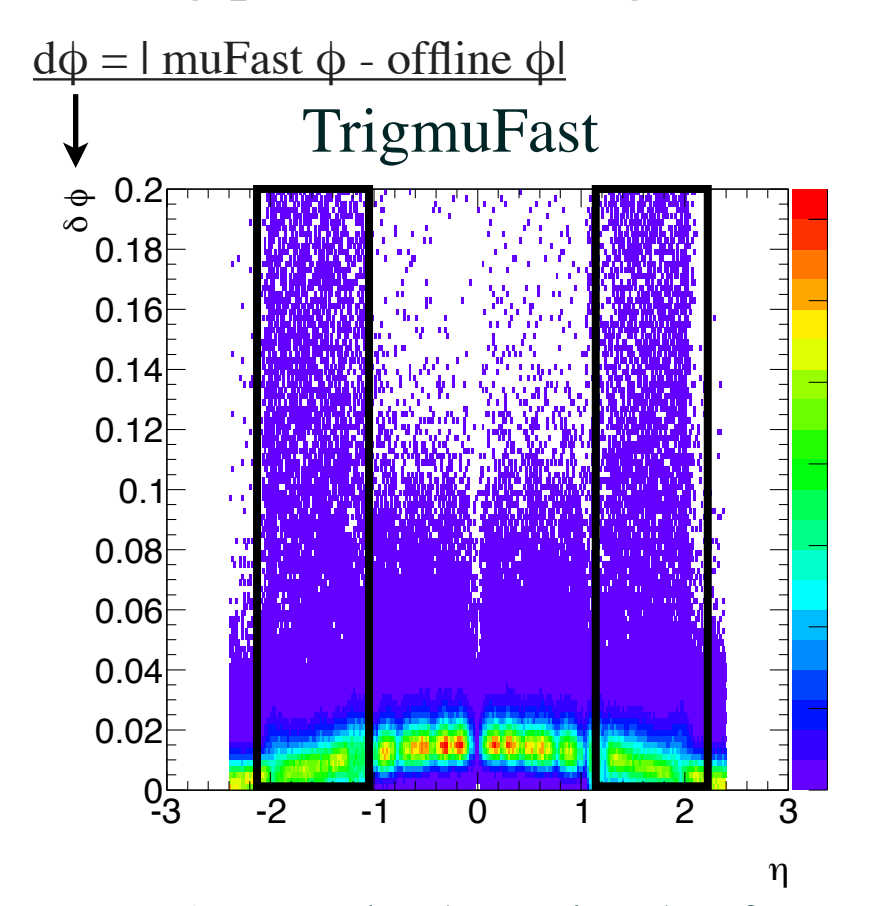
Problem & reason

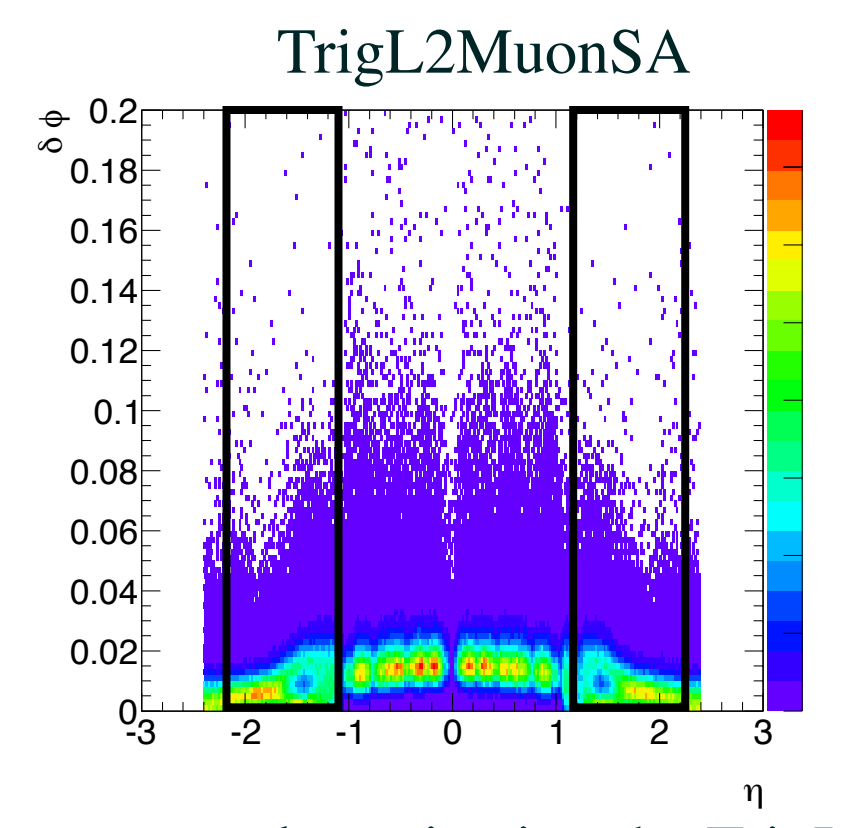
About (A)

- In fact, in the old TrigmuFast, "linear extrapolation" was done for position φ reconstruction at endcap.
- In TrigL2MuonSA, this extrapolation is not done(forgotten to implement).

About "linear extrapolation"

• If there is no hit in TGC Inner layer, ϕ is linear extrapolated to inner from the middle layer by using position and angle of TGC ϕ fits. This extrapolated ϕ positions are not correct.





• δφ at endcap is improved not by doing this "linear extrapolation", which results in higher efficiency in subsequent muComb.

• A very lucky mistake for us. We are currently reviewing the TrigL2MuonSA's reconstruction method of η and φ .

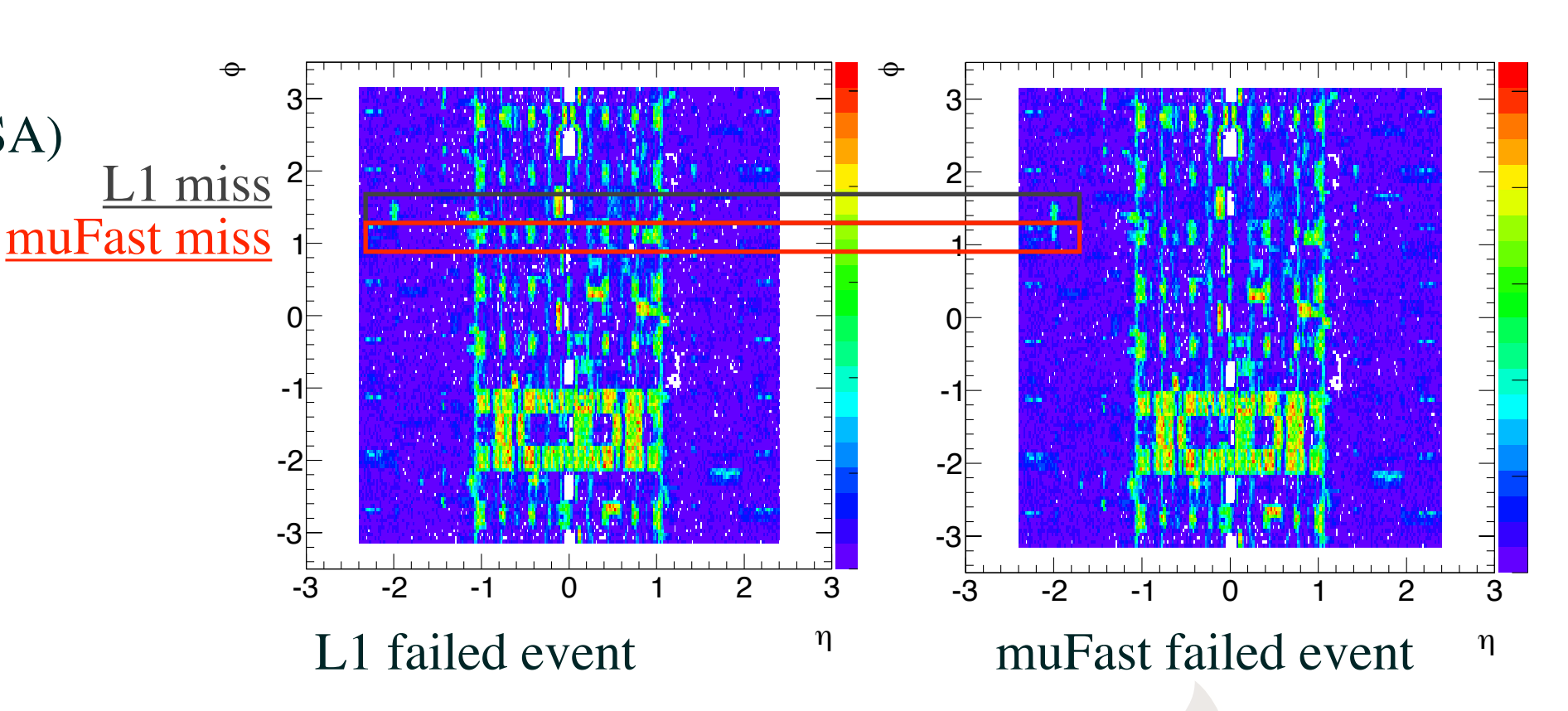
Problem & reason

- Problem & reason

- Summary

About (B)

- The efficiency of L1 is also low at $(\eta, \phi)=(-2.0, 1.4)$
- 1) at $(\eta, \phi) = (-2.0, 1.4)$ --> L1 is inefficient.
- 2) at (η, φ)=(-2.0,1.2)-->muFast (TrigL2MuonSA) is inefficient.



• The reason of L1 failed (by Masaya ISHINO)

• Inefficient chamber in M1

- --> small inefficient region due to 2 out of 3 coincidence
- Two inefficient chambers in M4 and M6 --> dummy hits are used
 - --> degradation of delta R accuracy in 3 out of 4 coincidence

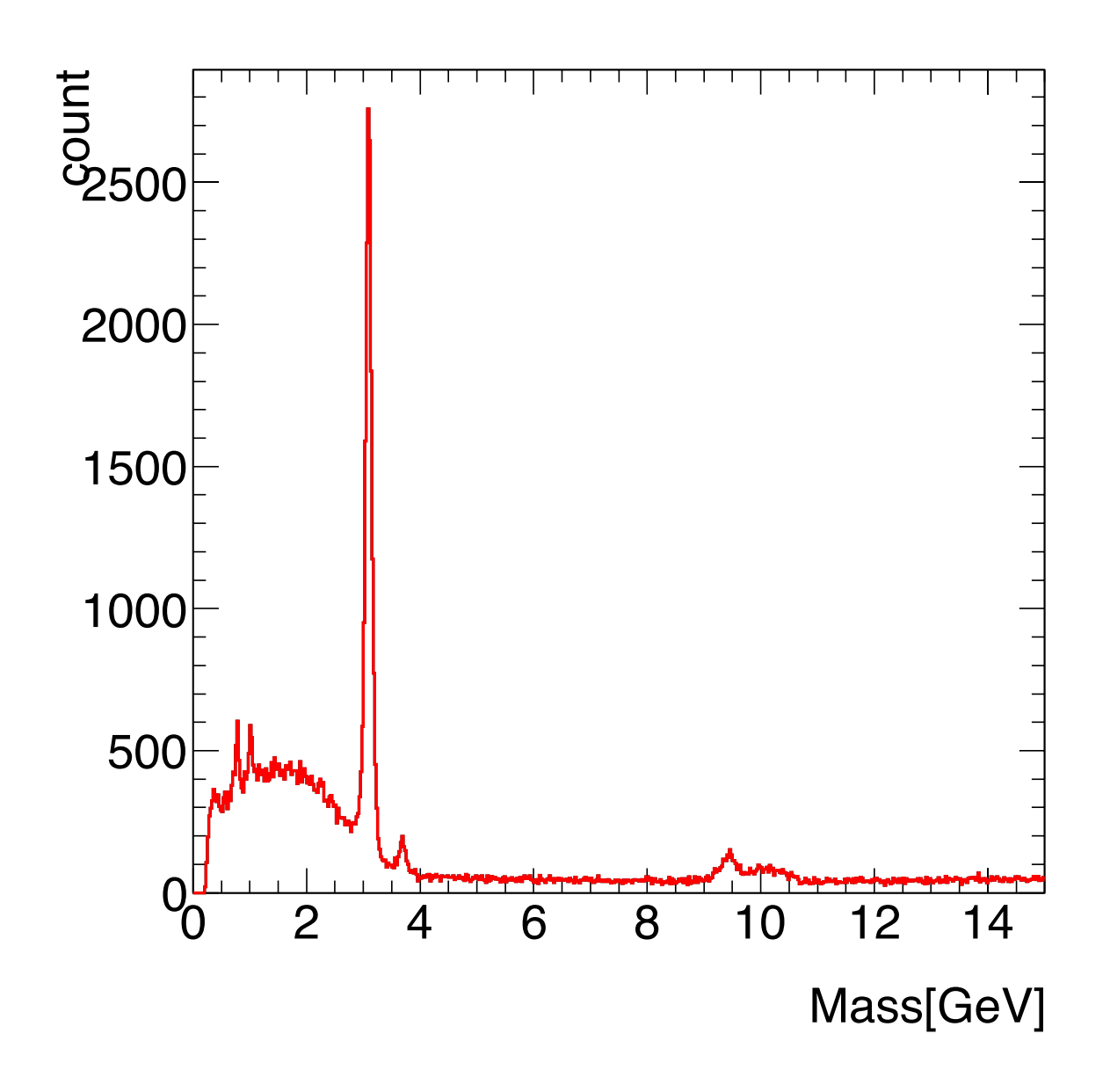
--> <u>Due to mixture of these two effects, this region seems to be tricky in L1</u>

(inefficient but not completely)

・テキスト

Invariant mass

● J/ψトリガーによるmass

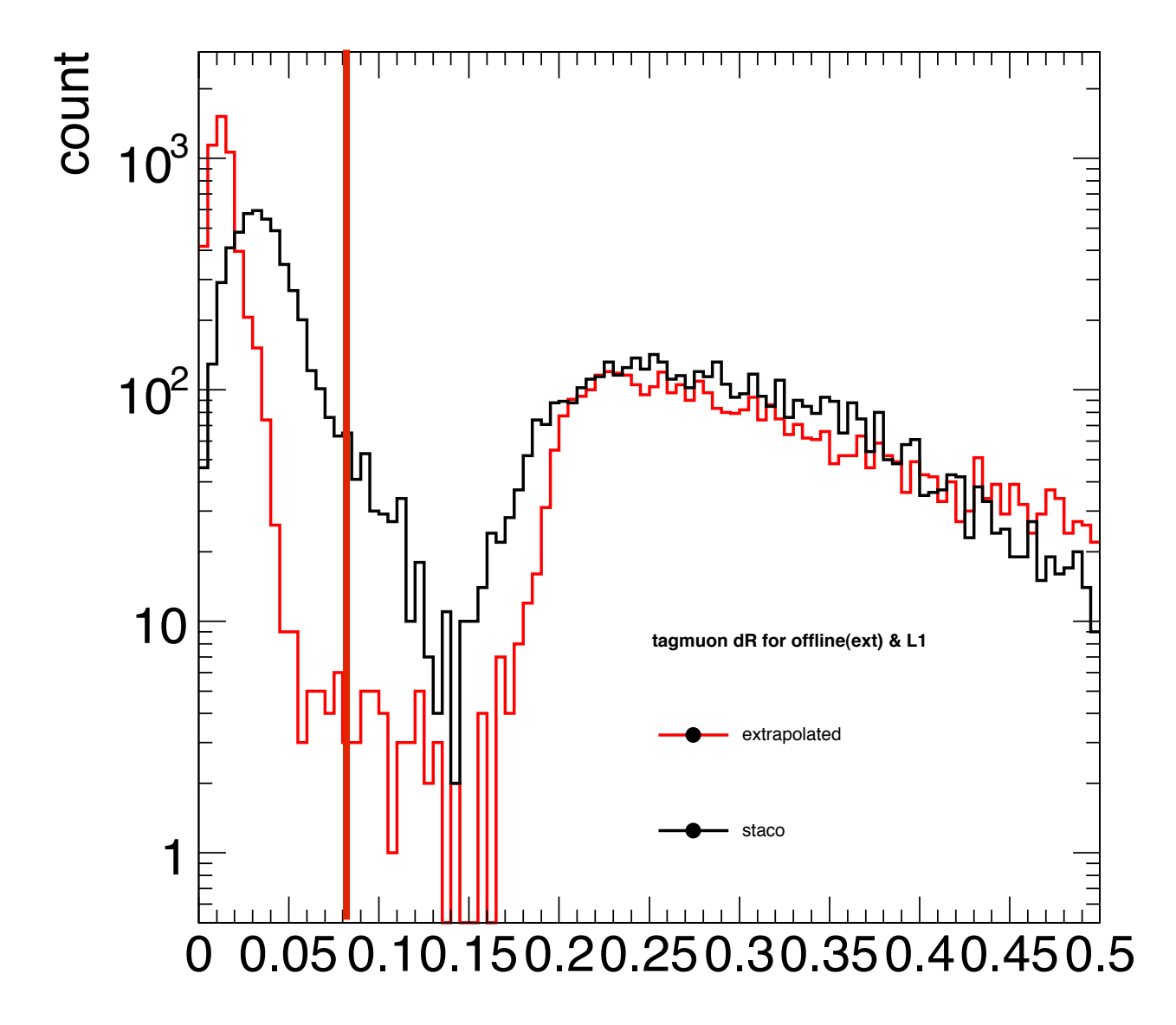


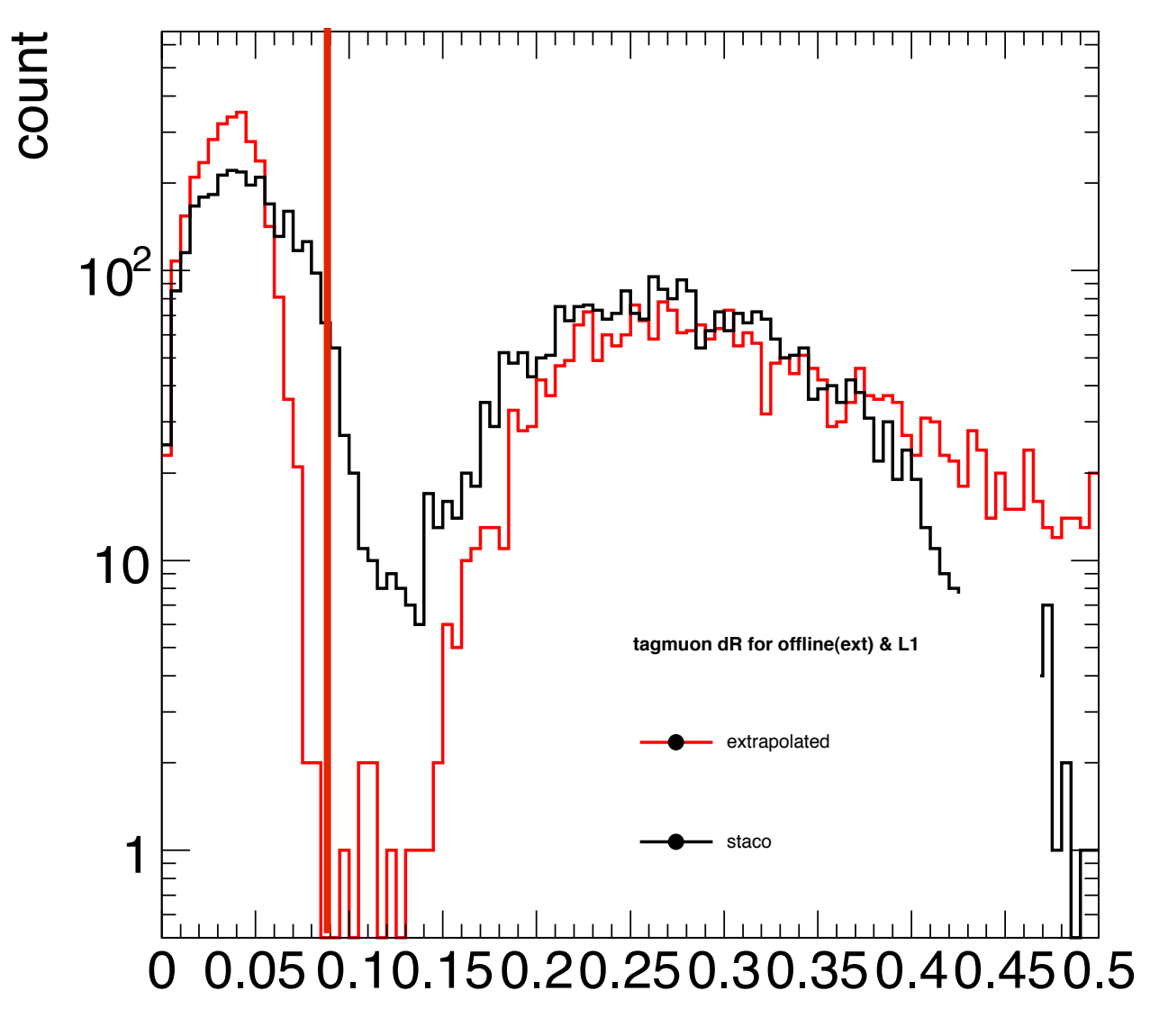
・テキスト

Tag dR

● offline muon と EF と の matching dR

- TagのselectionはとりあえずdR<0.08でかけている。
- Endcapは0.05まで狭められるかもしれない





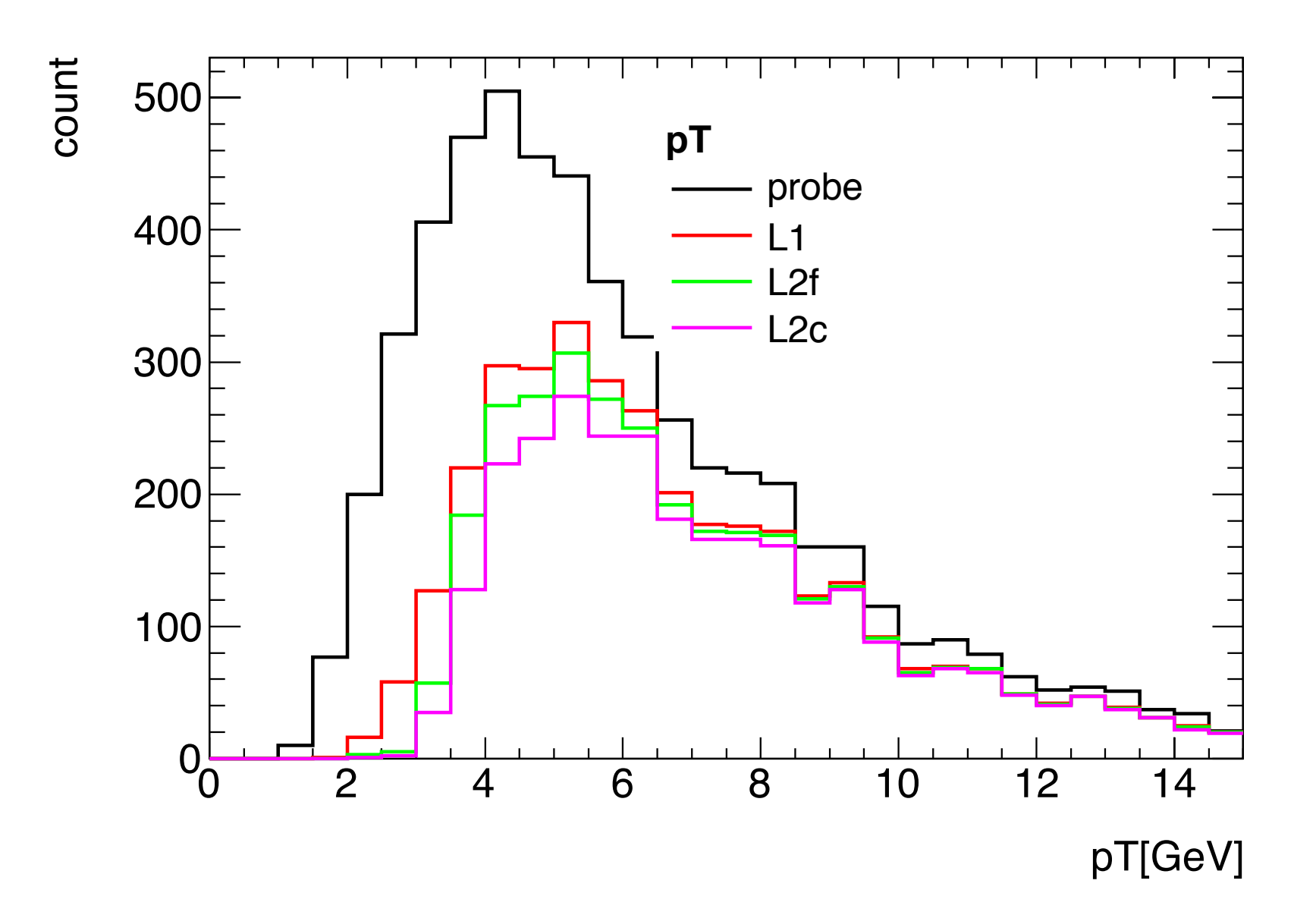
dR

dR

- テキスト

Probe muon pT

● probe muonのpT分布

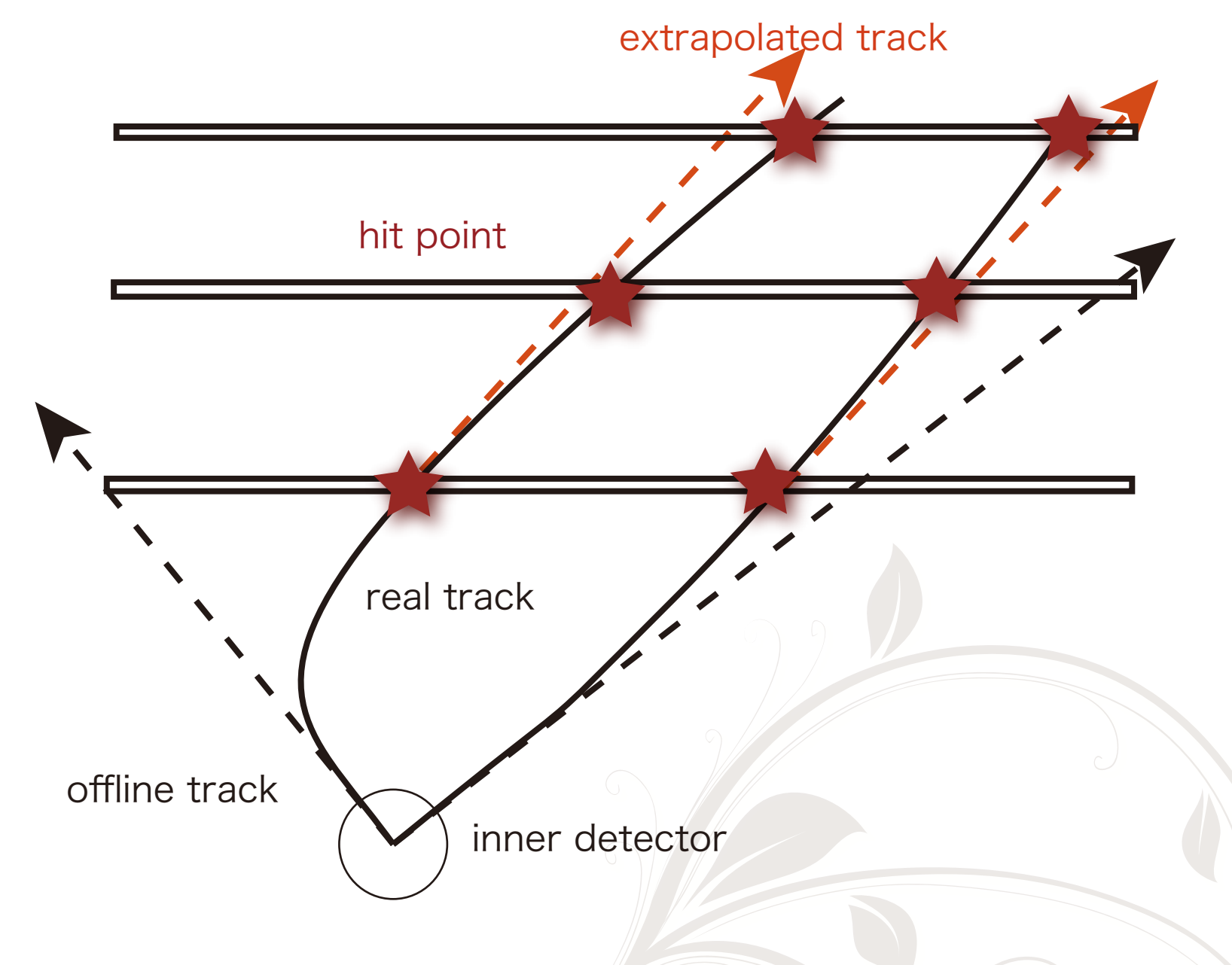


- Low pT efficiency

- Summary

Extrapolator

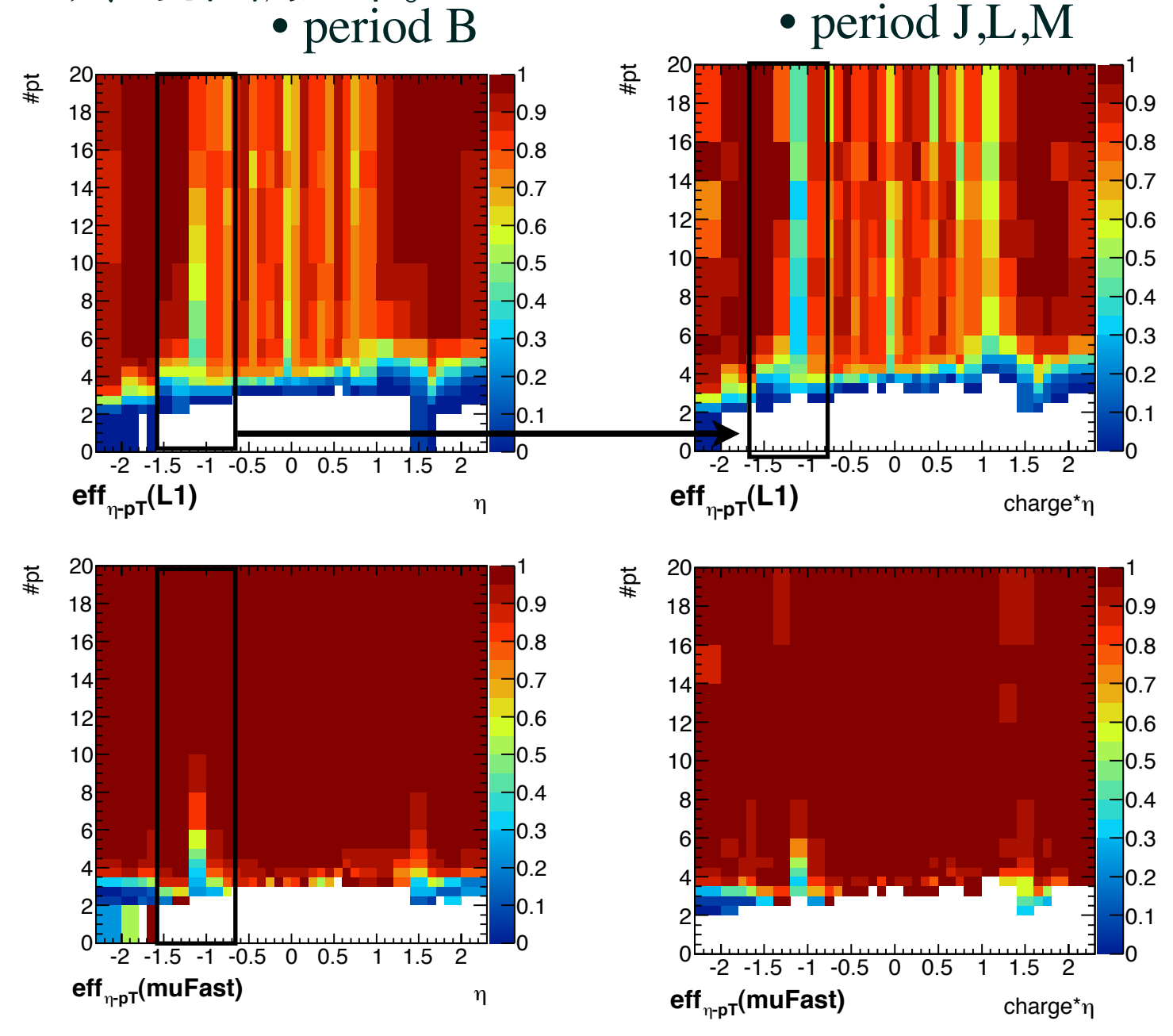
- ●より内層のHit情報を外挿した、extrapolatorの 情報を使用する。
- offline trackとdRを計算すると、取り違いが発生する。
- MDTもしくはTGCから外挿したtrackを利用したい
 - --> extrapolatorの導入
- offlineの代わりにextrapolated tarack とdR計算し、取り違いを防止



Problems...

- Low pT efficiency
- Summary

- どちらのperiodでも、q*η = -1 では low pTミューオンに対するmuFastの効率が 下がっている。
 - しかし、この理由はわかっておらず、現在調査中。
 - 更にこの領域では、
 period J,L,Mで
 Level 1が非効率になっており、
 調査が必要である。

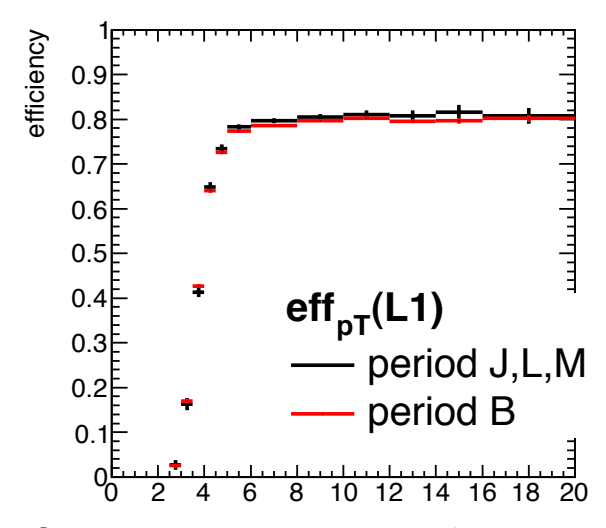


Efficiency plot(L2_mu4T)

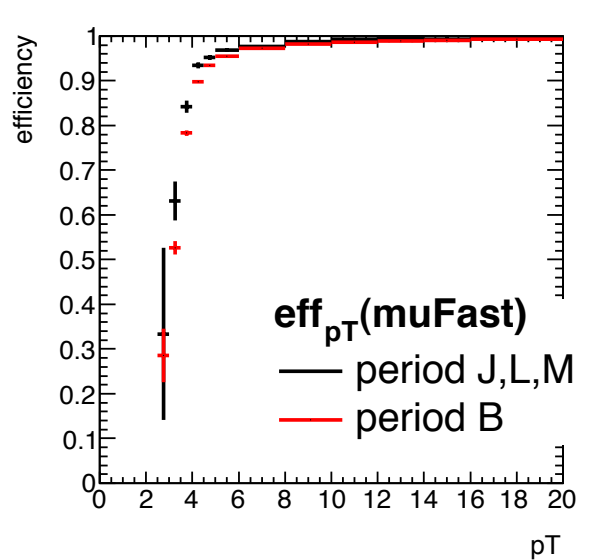
Low pT efficiency
- Summary

- EndcapとBarrelそれぞれでの比較を行う。
 - 先ほど話したように、period BまではTrigmuFastが、
 period C以降はTrigL2muonSAがmuFastで使用されている。
 - EndcapでのmuCombの効率改善はZで見られたものと同様の理由と考えられる。
 - Barrel

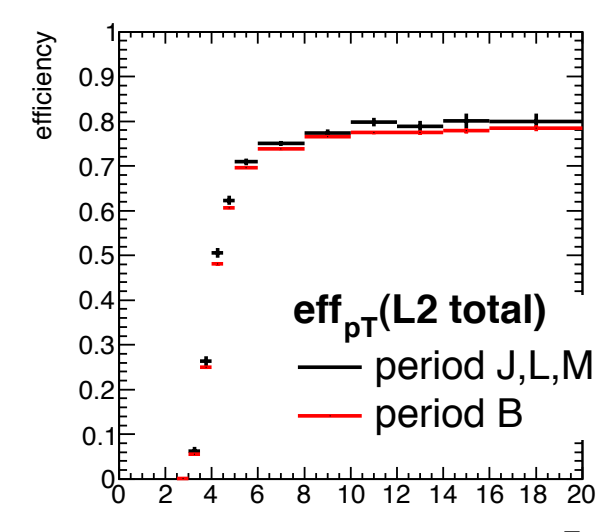
1. L1 wrt probe



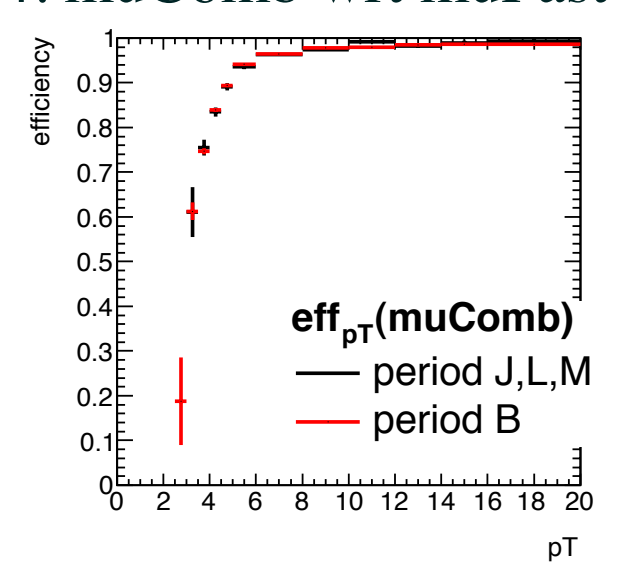
3. muFast wrt L1



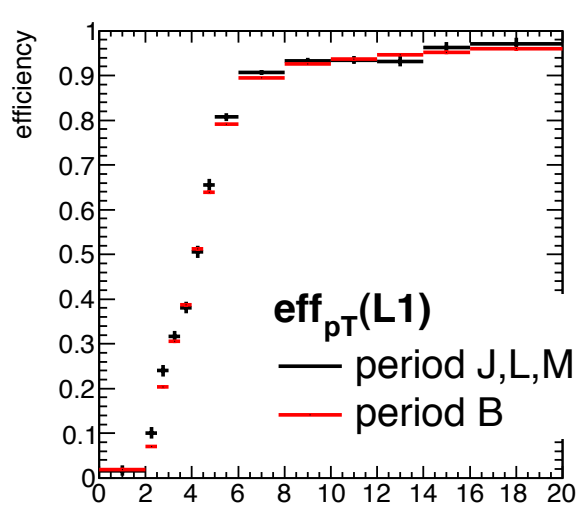
2. muComb wrt probe



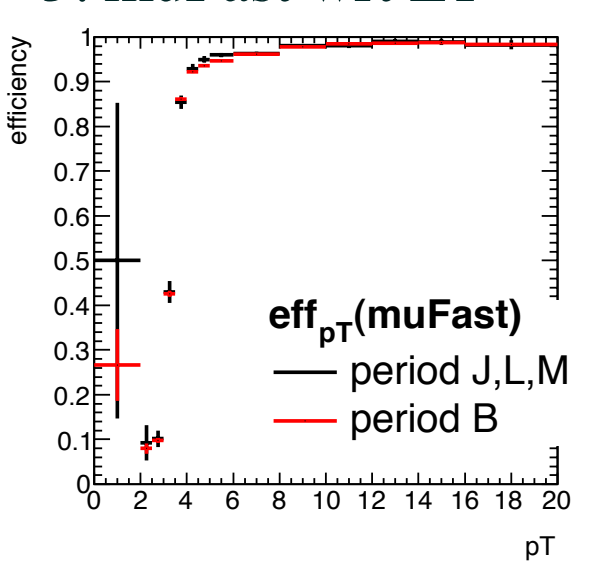
4. muComb wrt muFast



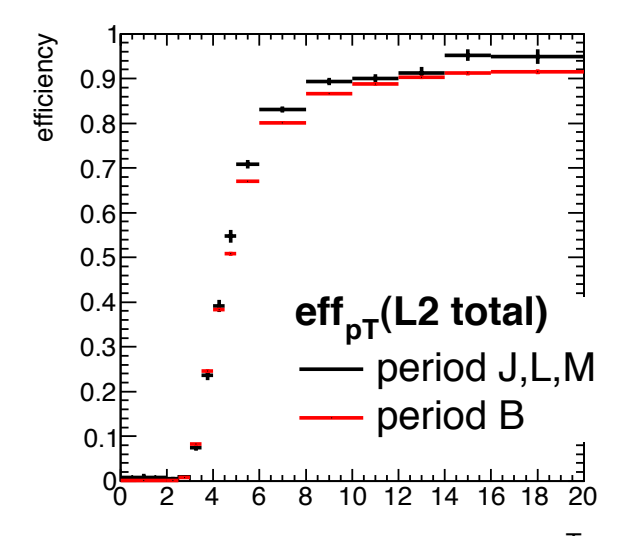
1. L1 wrt probe



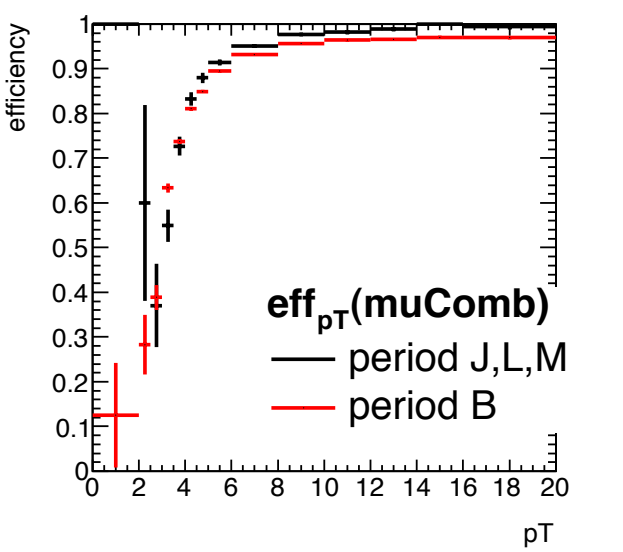
3. muFast wrt L1



Endcap2. muComb wrt probe



4. muComb wrt muFast



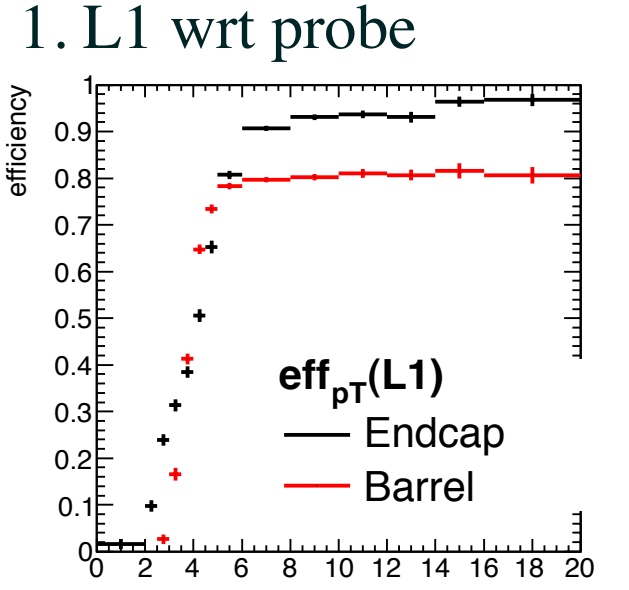
Low pT efficiency

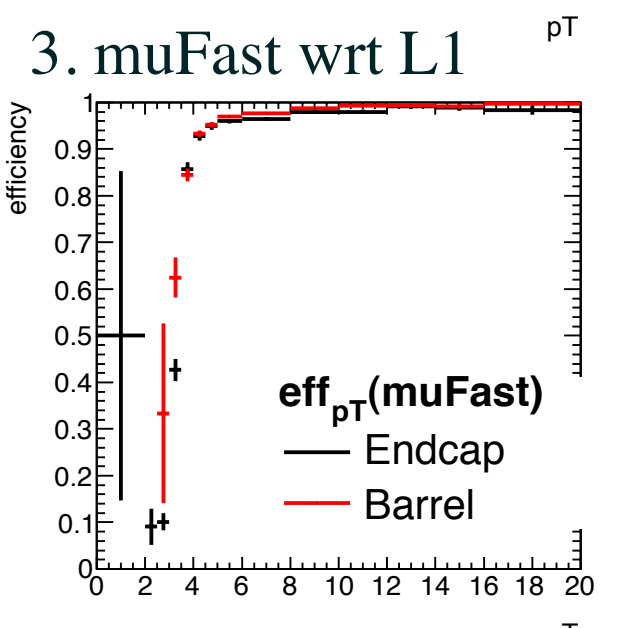
- Summary

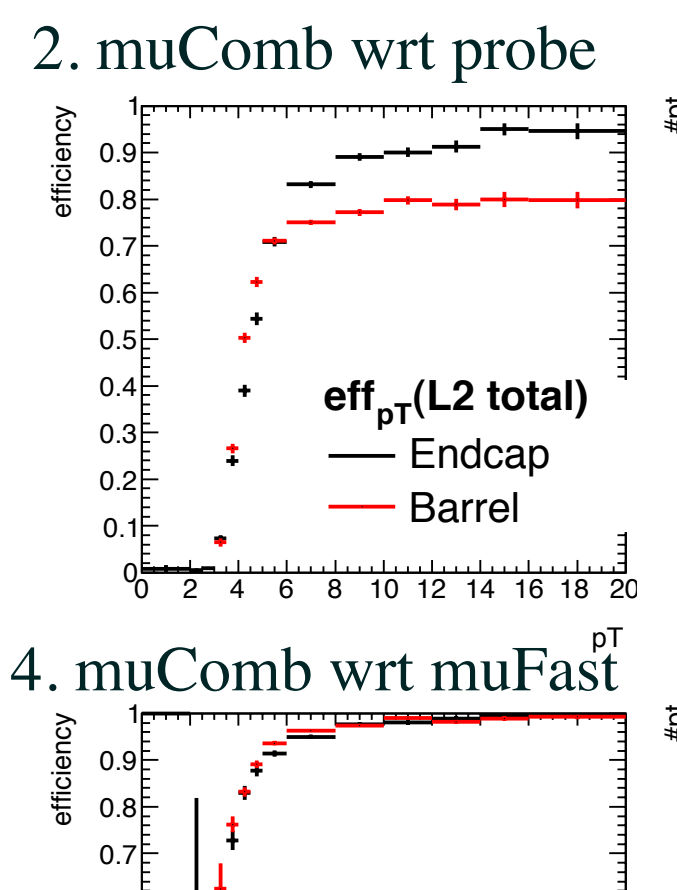
Efficiency plot(L2_mu4T)

- © period J,L,MでもL2_mu4Tトリガーチェイン についての効率を確認した。
 - ・結果はpT分布、η-φの分布として示す。
 - pT分布

• q*η - pT分布





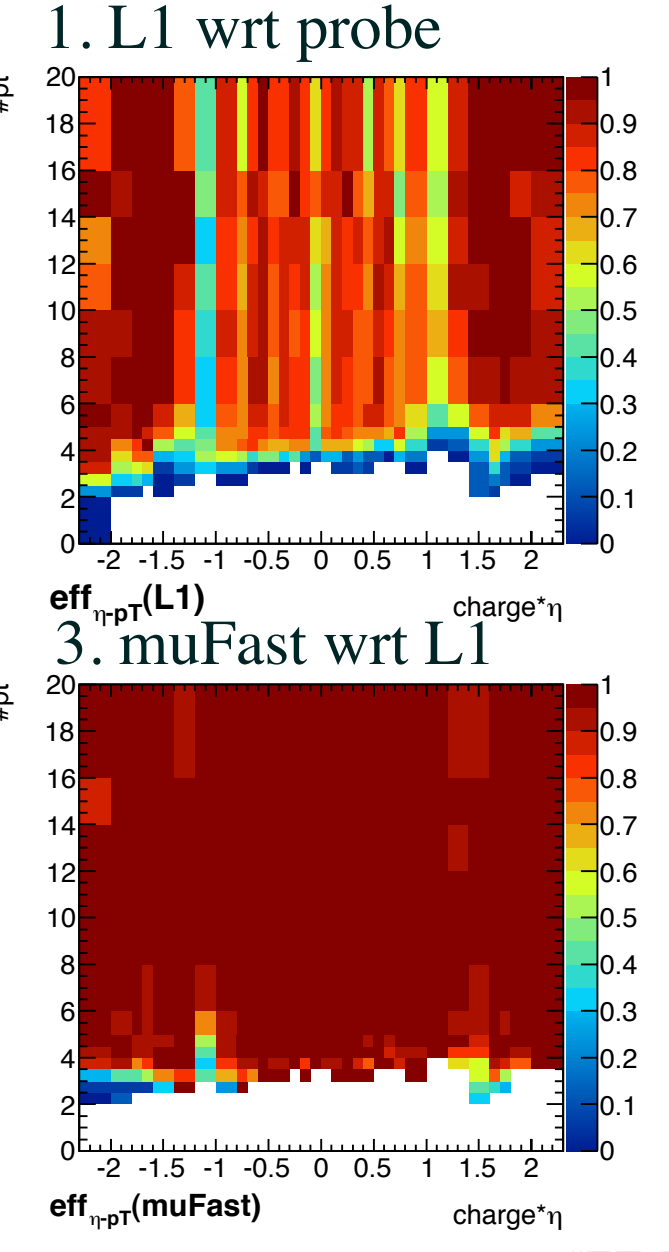


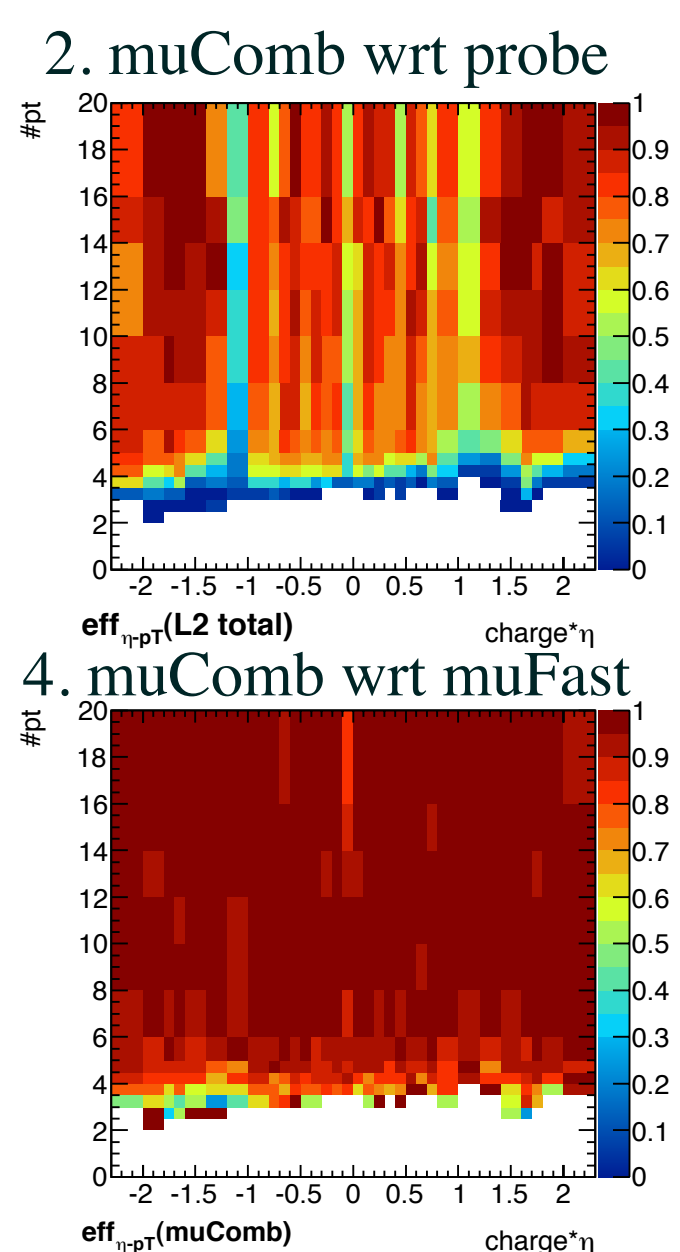
eff_{nT}(muComb)

Endcap

8 10 12 14 16 18 20

Barrel





• L1 wrt probe

pTeff(L1 wrt probe)

Endcap

Barrel

pTeff(L2 vs L1)

Endcap

Barrel

8 10 12 14 16 18 20

pT[GeV]

pT[GeV]

efficiency 18.0 18.0

0.1

• L2 wrt L1

Period B (EF_mu6)

I show efficiency as function of pT
 and charge*η × pT 2d-map.

pTeff(EF wrt probe)

Endcap

pTeff(EF wrt L2)

- Endcap

Barrel

pT[GeV]

pT[GeV]

• Total

efficiency 8.0

0.3

0.2

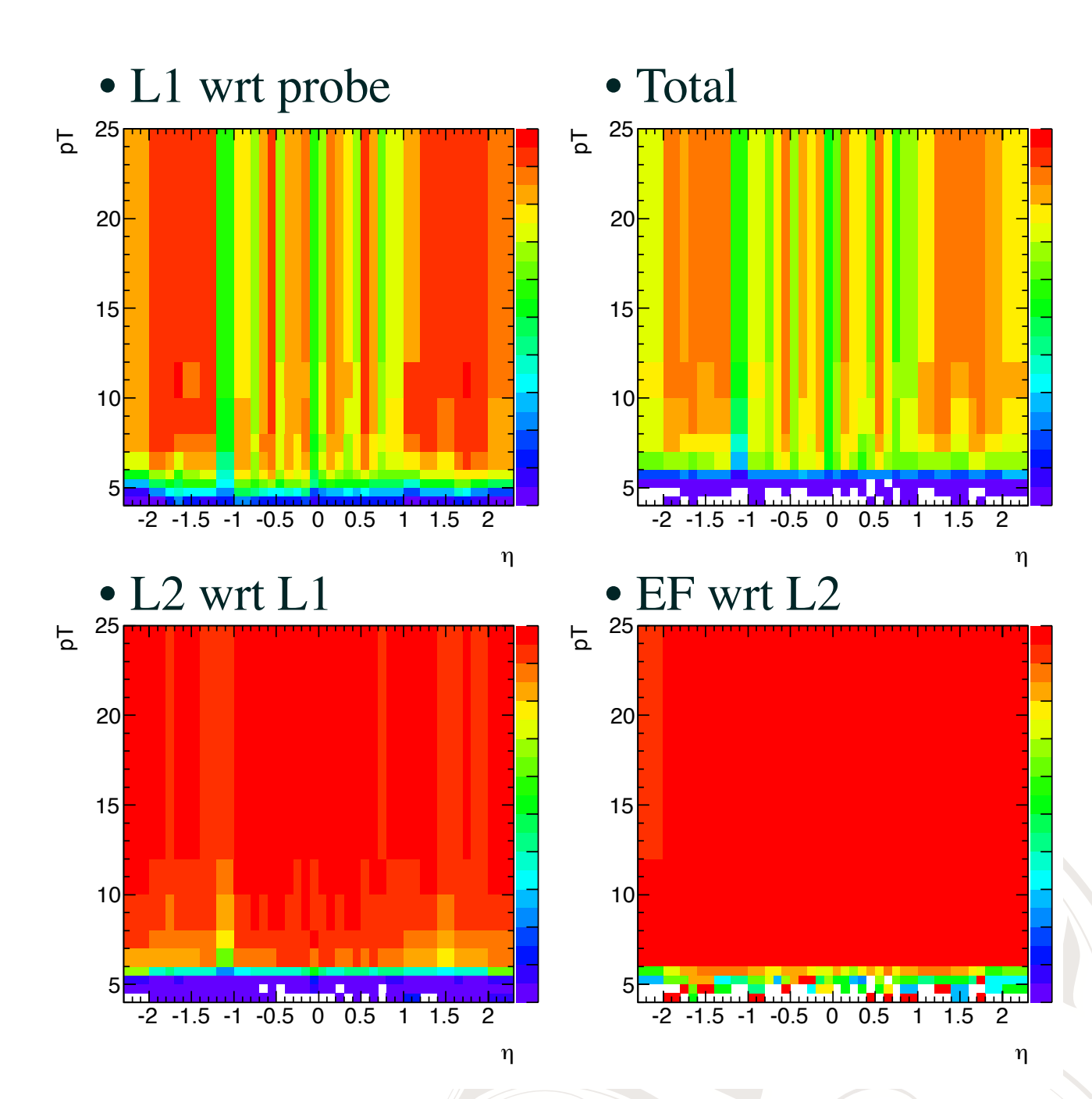
efficiency 8.0

0.6

0.5

0.3

• EF wrt L2



- Results

- Monte-carlo

- Summary

❖倉庫



L1(Level 1)	L2(Level 2)		EF(Event filter)
L1(RPC,TGC)	muFast (MDT)	muComb (MDT+ID)	EF
ハードウェアレベル の選別。Level2に対 し、データ取得する 領域(RoI)を指定する 役割を持つ。	ソフトウェアレベル の選別であり、RoIで 指定された領域の MDTのhit情報からpT などで選別する。	InnerDetectorの トラック情報と統合 することで、 更に位置、pTなどに 対して詳細な選別を かける。	トリガーの最終段階であり、ほぼofflineでかけるものと、同等に詳細な選別をかける。

位置分解能は劣るが、応答速度が早いTGC,RPCは あらかじめ粗い選別をするために用いる。

その情報を受け取ったMDT, CSCによって、 より精密な事象選別が行われる。